

Biotechnology processes Applications

Lecturer:

Dr. Ghassem Amoabediny

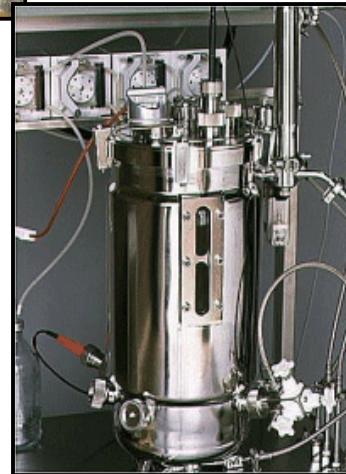
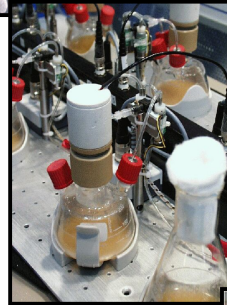
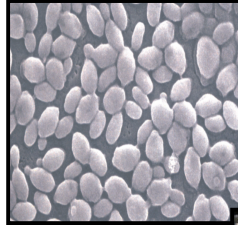
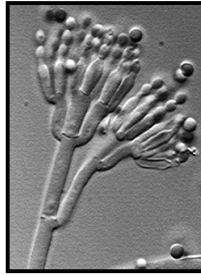
Email contact:

amabedini@ut.ac.ir

Fall:1386-1387-semester 2

Part 1

Online Monitoring of bioprocess and Scale up



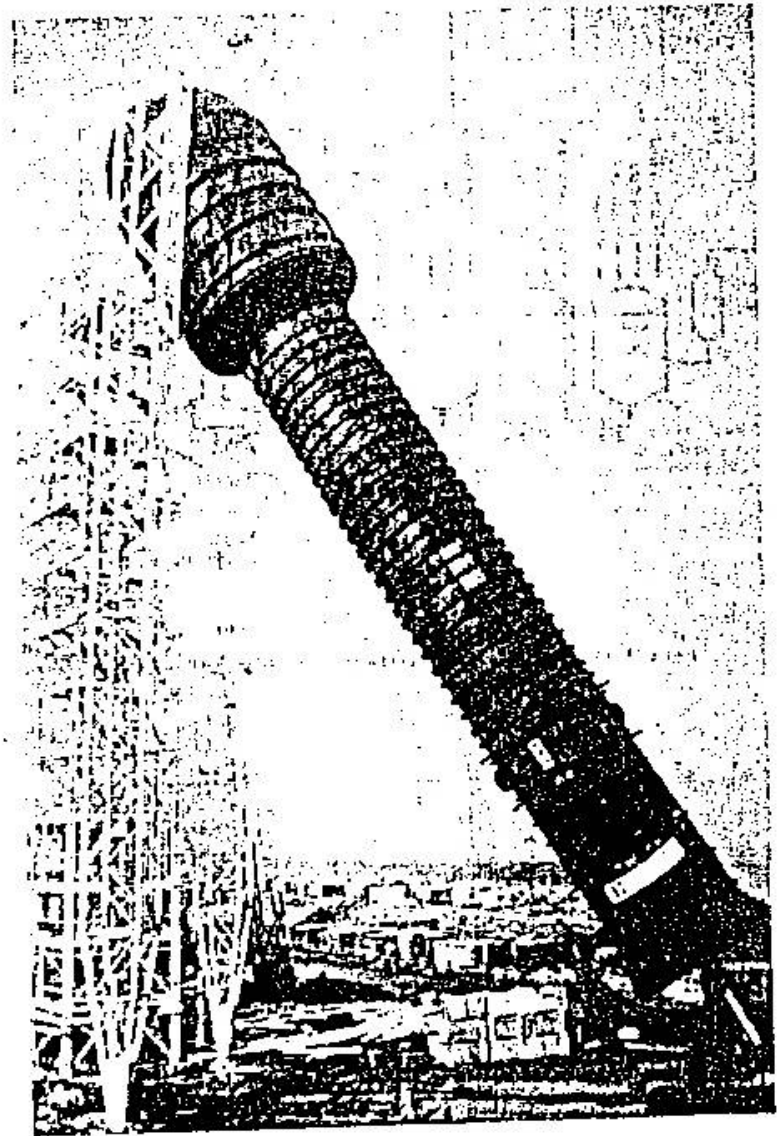
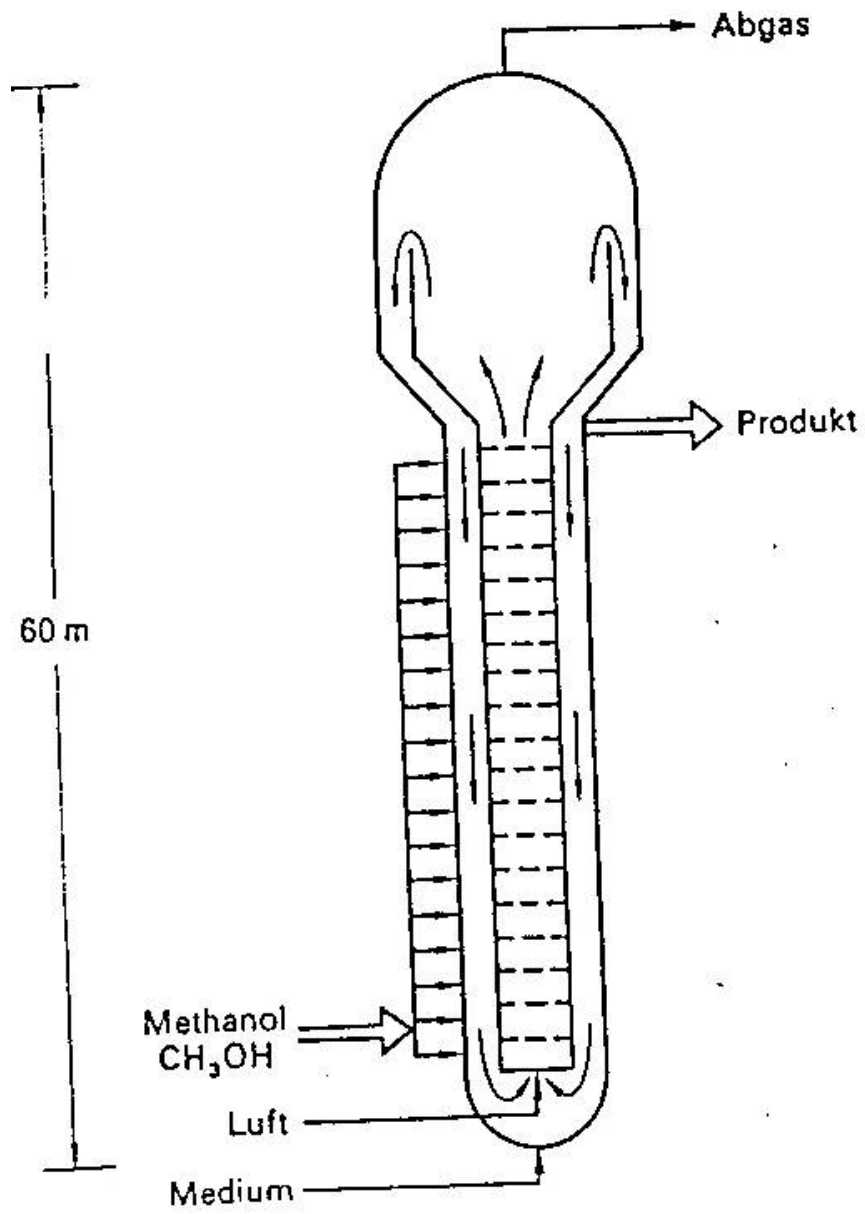
Important engineering parameters of a bioprocess

If no suitable environmental conditions are provided for the microorganisms, they will not perform properly and we may select the wrong candidates.

Also essential to obtain meaningful results for scale up.

Technische Umsetzung I: Technikums-Anlage





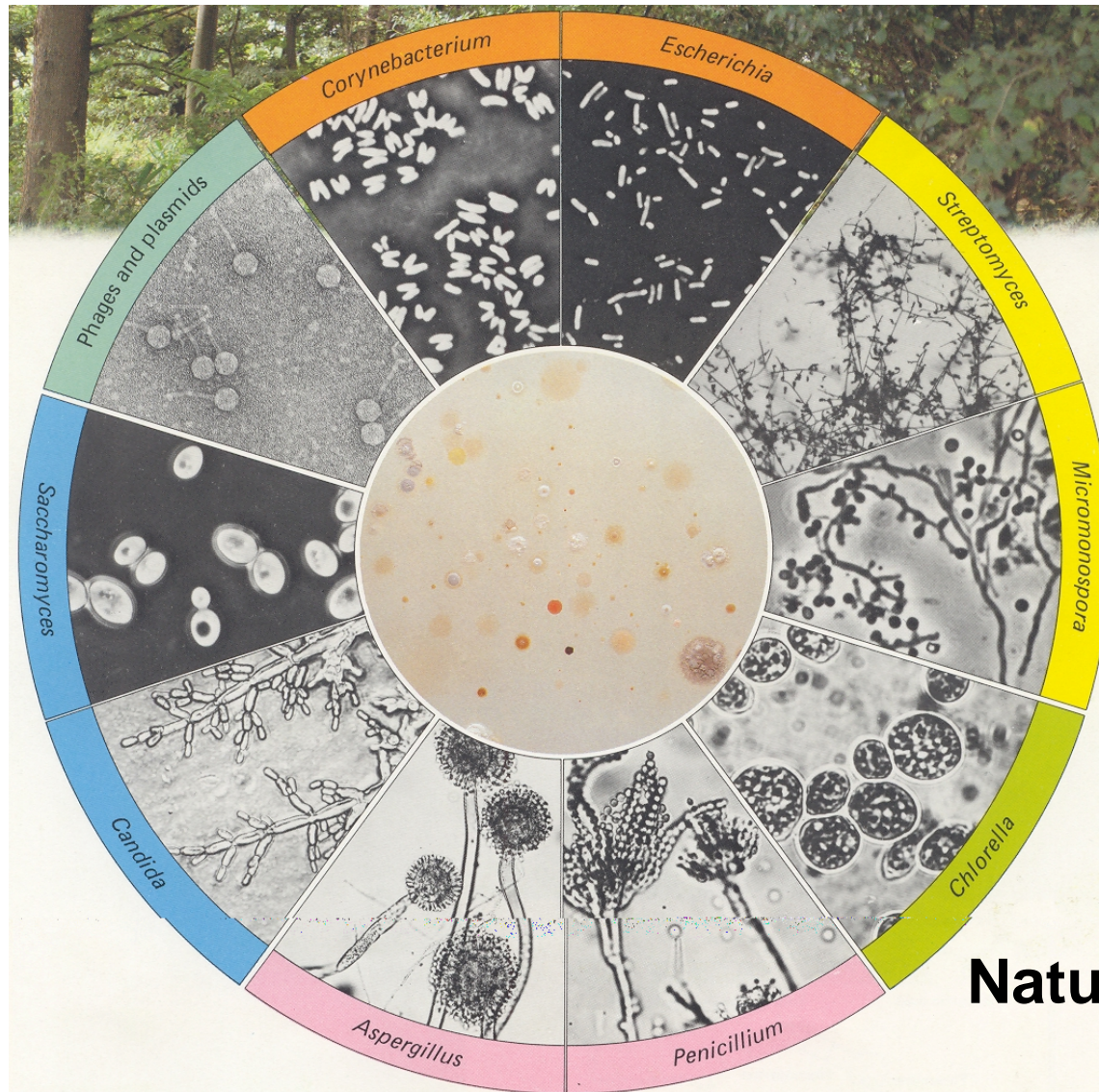
1,500 m³

Fermentations equipments for producing Vitamin B12



Vitamin B2, Roche Vitamine, Grenzach

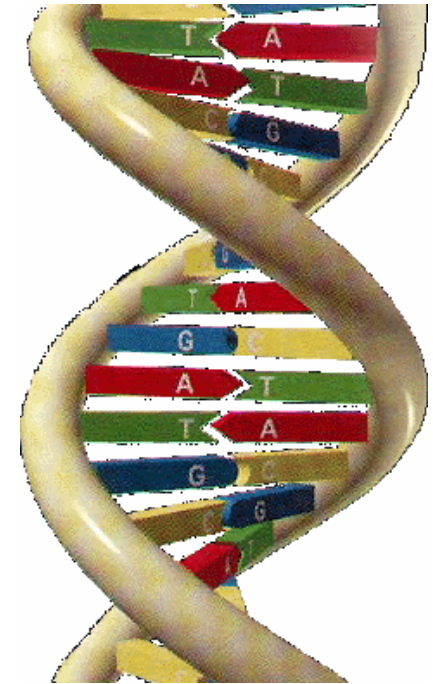
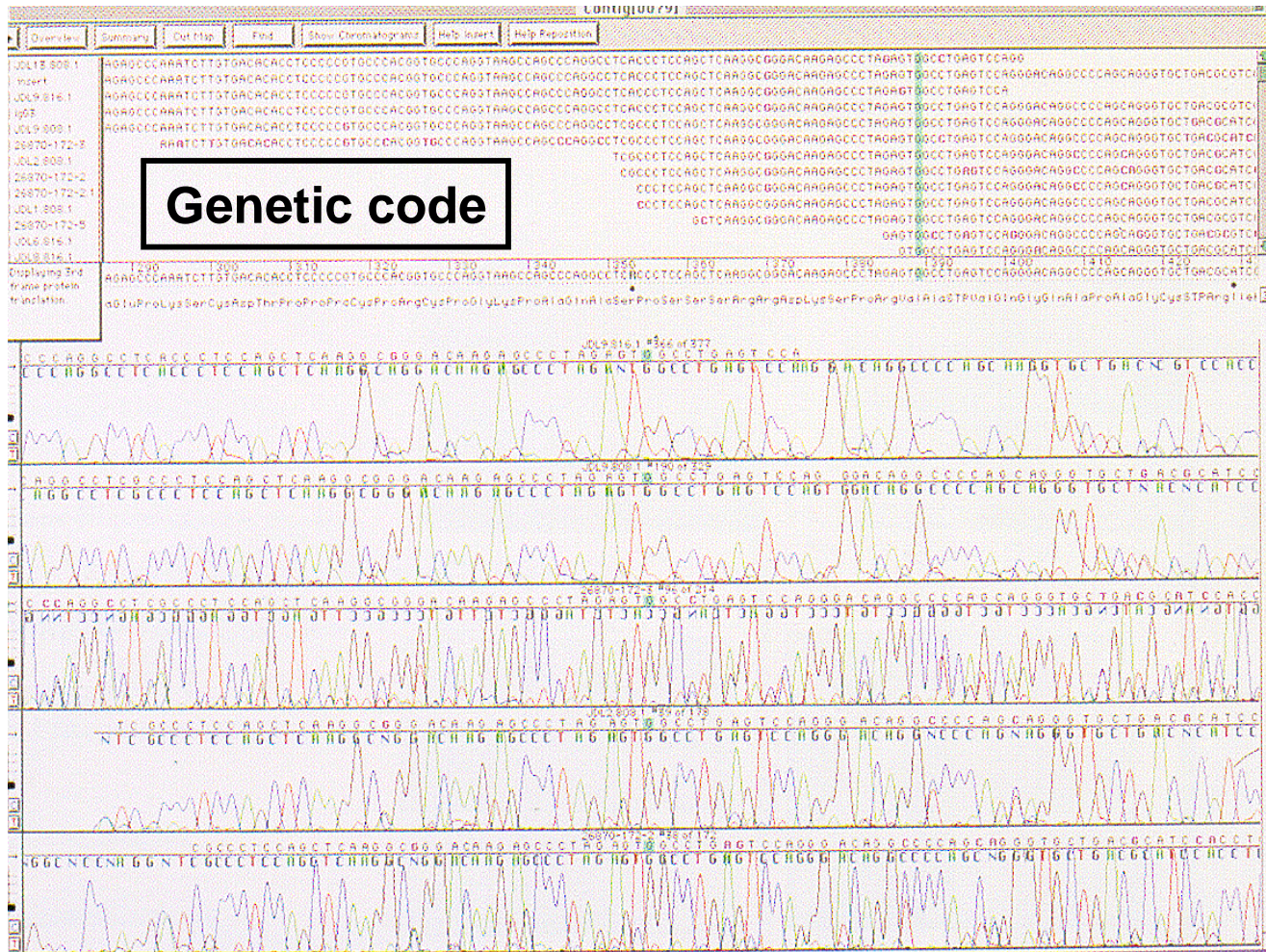
Why do we have to screen among so many variants ?



Natural diversity

Why do we have to screen among so many variants ?

Microorganisms: *E. coli* has 4289 genes



Why do we have to screen among so many variants ?

Due to the large number of possible microbial variants and the low success probability of a single experiment, an extraordinarily large number of experiments have to be conducted.



Why do we have to screen among so many variants ?

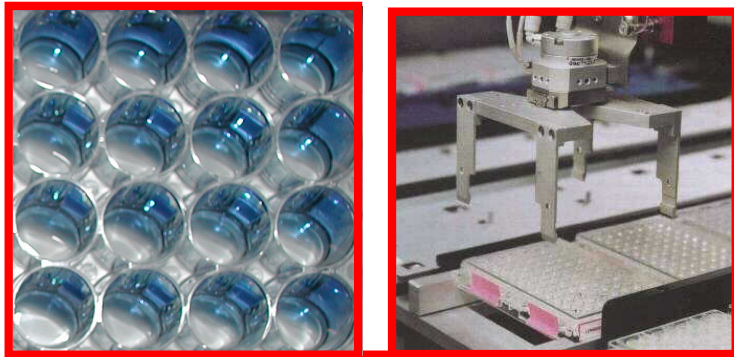
Culture media:

- **Carbon source**
(glucose, sucrose, starch, molasses, glycerol, methanol, acetate, plant oil, etc.)
- **Nitrogen source**
(ammonia, urea, nitrate, corn steep liquor, yeast extract, protein hydrolysate, etc.)
- **Phosphorous source**
(phosphate, phytin)
- **Sulphur source**
(sulphate, amino acids)
- **Trace elements**
(Mg, Ca, K, Fe, Mn, Cu, Zn, Mo, Se, etc.)
- **Vitamins**
(biotin, thiamine, pantothenate, riboflavin, etc.)

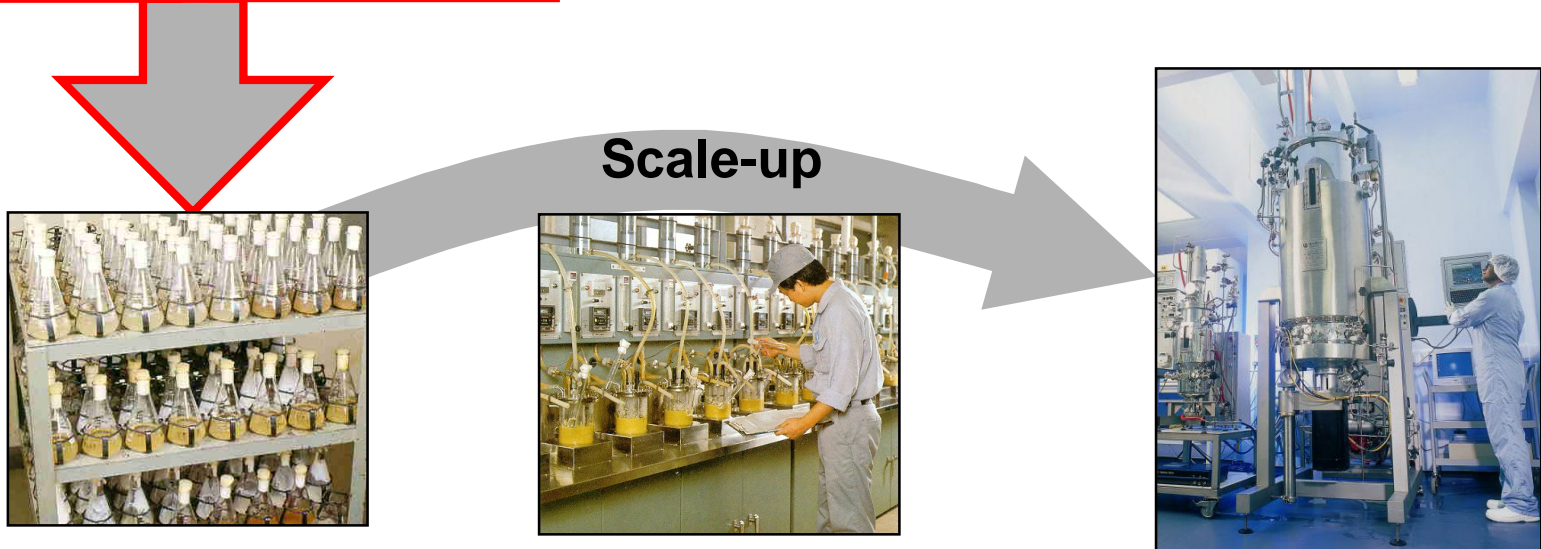
All these compound's concentration have to be optimised (at relevant operation conditions) !

Modern procedure for bioprocess development

Micro titre plate culture systems

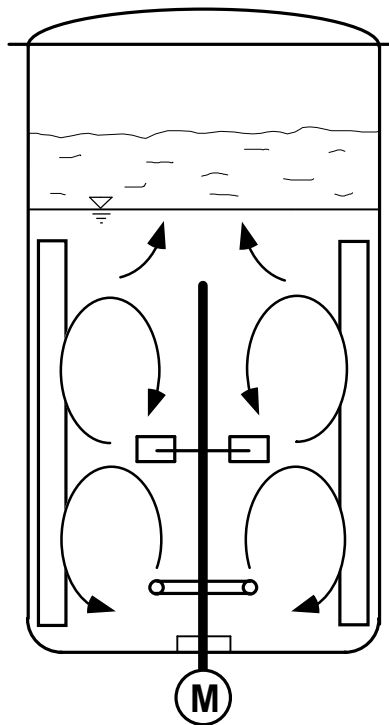


Primary screening with
high throughput (HTS)
5.000 - 40.000/d,
batch-reactions



Determination and control of mass transfer areas of gas/liquid-reactions

Stirred tank fermentor

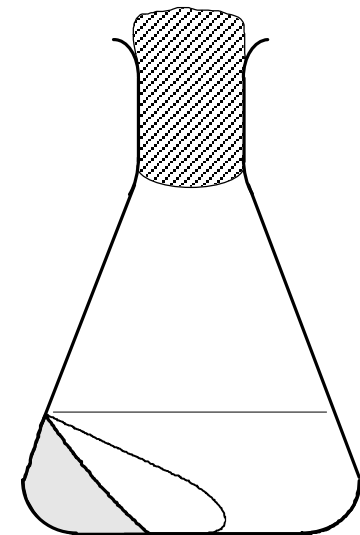


- ← foam generation
- ← gas separation
- ← coalescence
- ← bubble recirculation
- ← bubble dispersion
- ← bubble formation

difficult to
determine

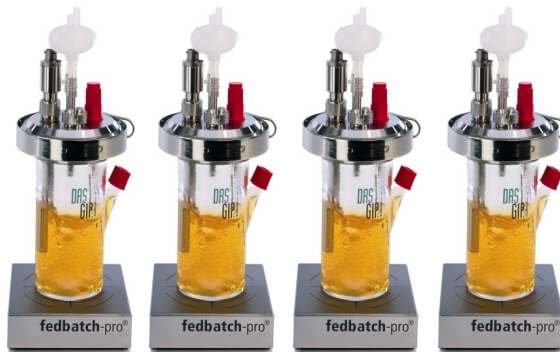
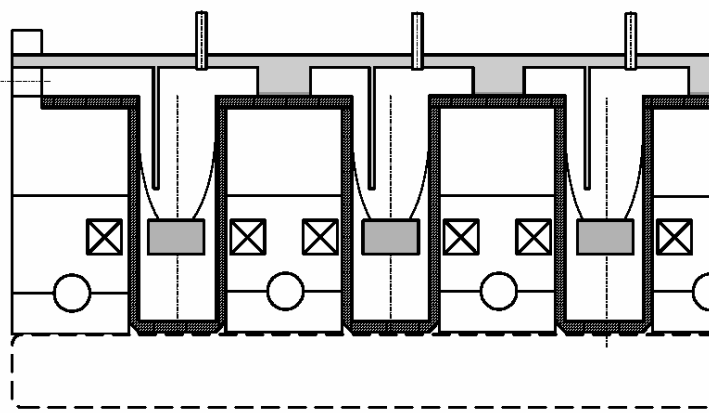
Shaken bioreactors

(without baffles)

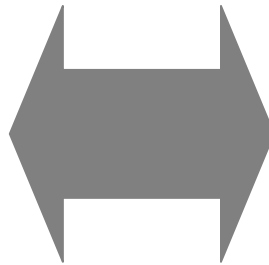


easy to
determine

Why application of shaking principle in case of highly parallel bioreactors ?

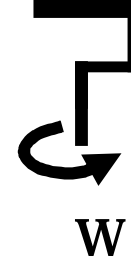


Input of energy is only possible with dedicated drives for every individual bioreactor



$$F_z = m \cdot r \cdot \omega^2$$

F_z ↑



Energy input from one central drive by rotating centrifugal field

Oxygen transfer (OTR) in bubble aerated bioreactors

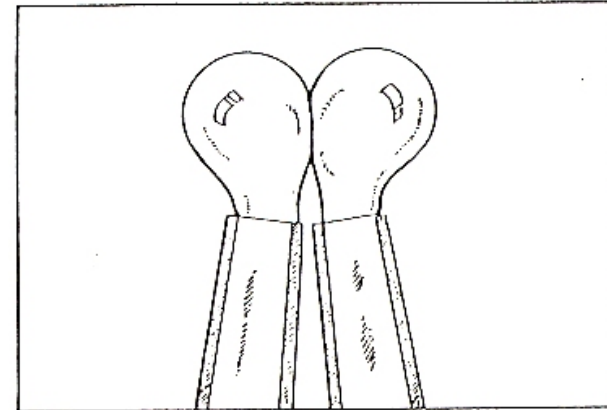
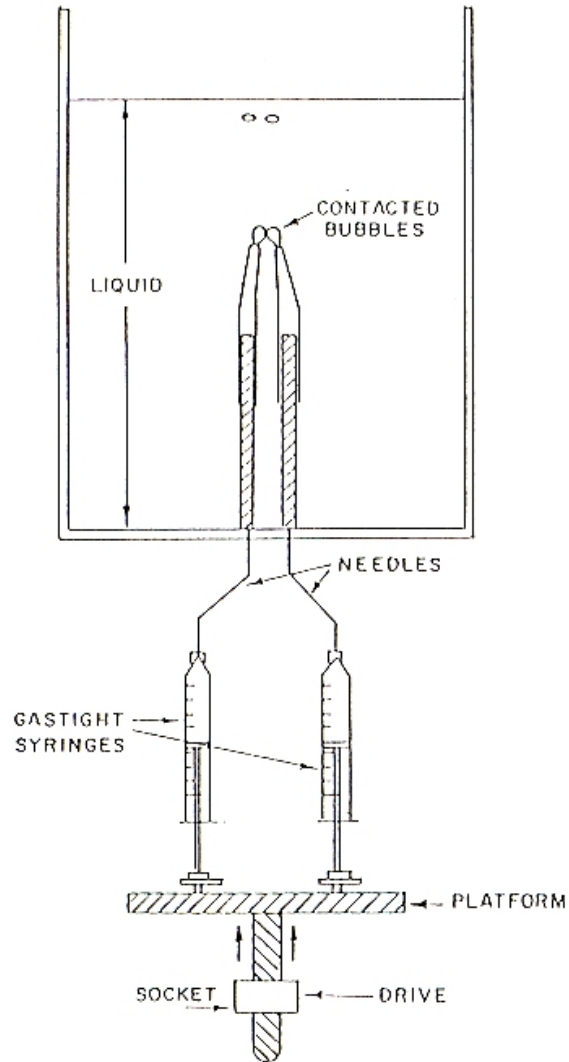
$$\text{OTR} = k_L \times a \times p_{\text{abs}} \times L_{\text{O}_2} \times (y^* - y_L)$$

Different or rather changing concentrations:

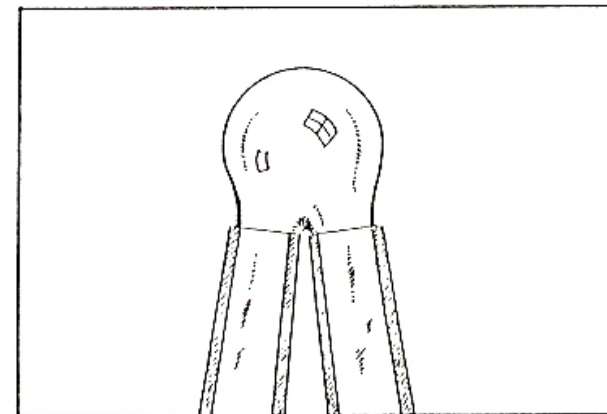
- 1) slightly influence the oxygen solubility (L_{O_2}),
- 2) slightly influence the mass transfer coefficient (k_L),
- 3) strongly influence the specific mass transfer area (a).

Coalescence phenomenon

from Lessard and Zieminski, 1971



Bubbles in sea water



Bubbles in distilled water

Oxygen transfer (OTR) in unbaffled shaking bioreactors

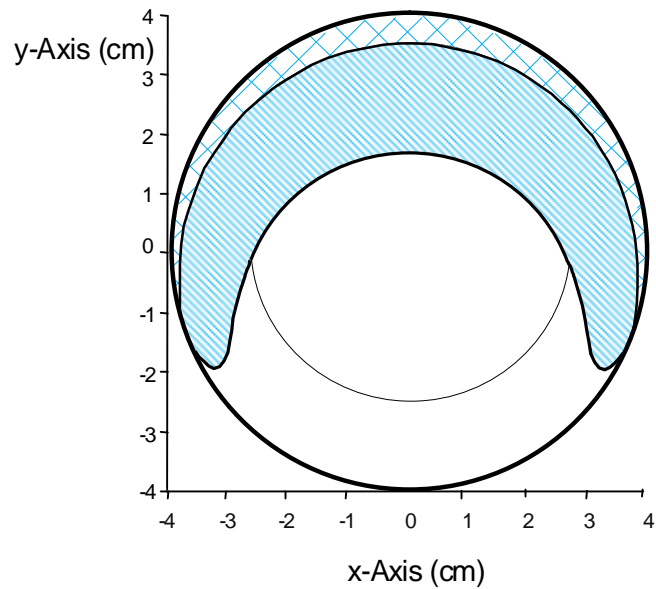
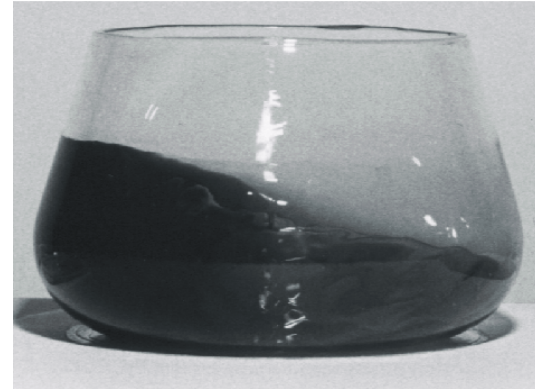
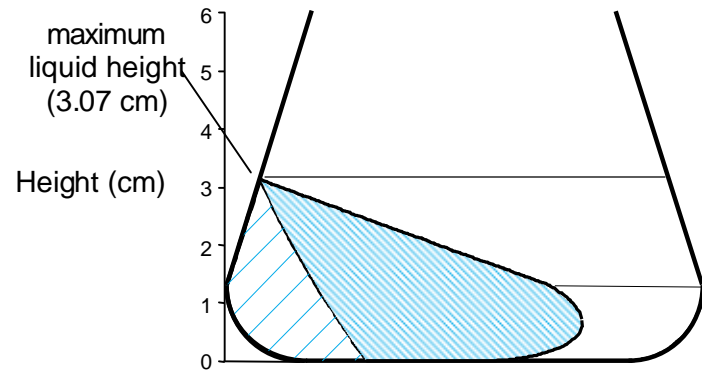
$$\text{OTR} = k_L \times a \times p_{\text{abs}} \times L_{\text{O}_2} \times (y^* - y_L)$$

Different or rather changing concentrations:

- 1) slightly influence the **oxygen solubility (L_{O_2})**,
- 2) slightly influence the **mass transfer coefficient (k_L)**,
- 3) but do not influence the **specific mass transfer area (a)**.

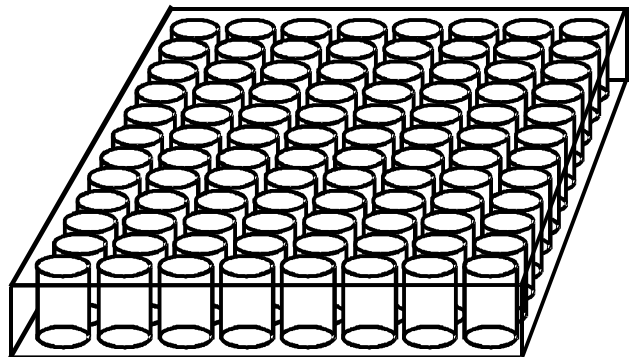
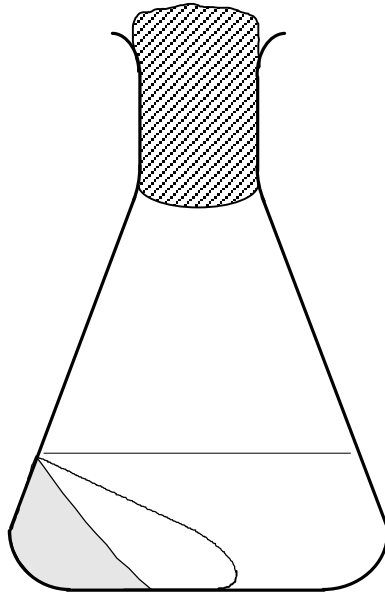
Calculated liquid distribution in shaking flasks

250 ml flask, shaking diameter 25 mm, filling volume 25 ml, shaking frequency 200 rpm



$\eta = 1 \text{ mPa s}$

Important engineering parameters of a bioprocess



- 1) general hydrodynamics
- 2) specific power consumption
- 3) O_2 - supply
- 4) ventilation (stripping of CO_2 , H_2O , alcohols etc.)
- 5) degree of mixing and homogeneity
- 6) hydromechanical stress (control of morphology, wall growth)
- 7) foam generation and its impact
- 8) dispersion of an organic liquid phase
- 9) suspension (homogeneity) of solids

A typical correlation for **power input** (in watts) is:

$$P(w) = p_o \rho \left(\frac{RPM}{60} \right)^3 D^5$$

p_o is the power number of the impeller. For a fully immersed Rushton impeller it is 5, and if it is very near the liquid surface it is less than 5.

ρ is density (kg/m³).

RPM are revolutions per minute.

D is the diameter of the impeller.

A typical correlation for $k_L a$ (in hr⁻¹) is:

$$k_L a = 0.1 \left(\frac{P(w)}{M} \right)^{0.4} v_{gs}^{0.6}$$

(Empirical)

$$OUR = k_L a (C^* - C_L)$$

OUR is oxygen uptake rate.

C^* is the sat'n concentration of O₂.

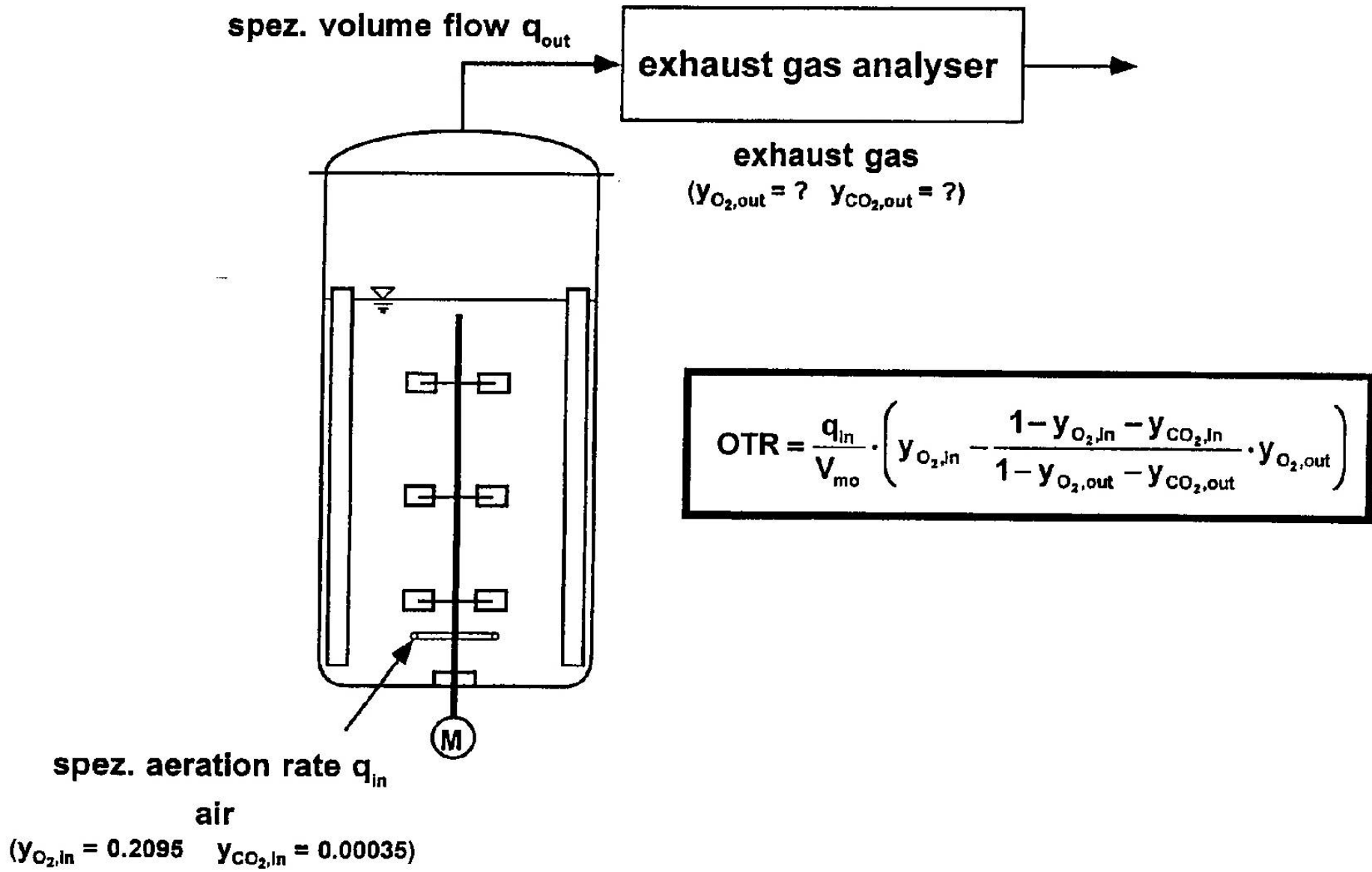
C_L is the actual DO.

M is the mass of the fluid.

0.1 is experimentally determined (should be determined for each culture broth).

v_{gs} is superficial gas velocity.

Investigation of the oxygen transfer rate (OTR) applying a gas balance



Parameters for estimation of oxygen mass transfer

$$k_1 a_d = k u_s^{\alpha} \left(\frac{P}{V_1} \right)^{\beta}$$

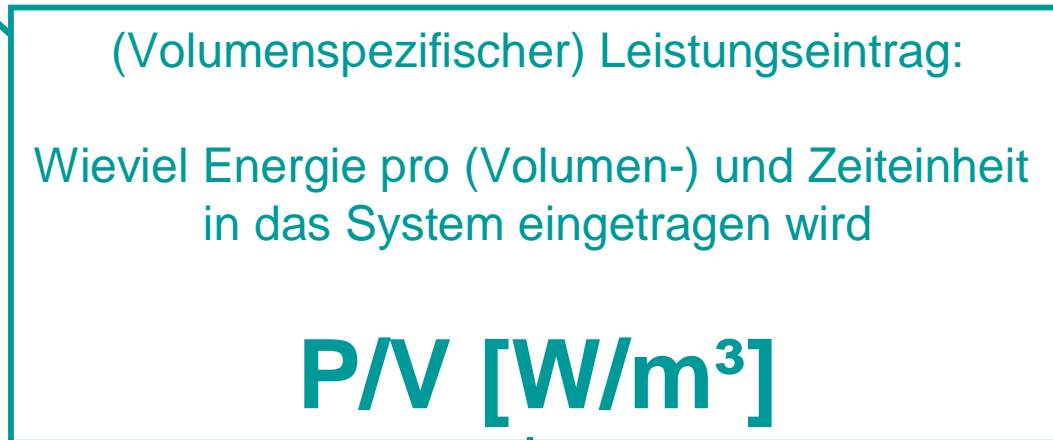
Medium	k	α	β	Agitator	Reference
Coalescing	0.025	0.5	0.4	Six-bladed Rushton turbines	Moo-Young and Blanch (1981)
	0.00495	0.4	0.593	Six-bladed Rushton turbines	Linek <i>et al.</i> (1987)
	0.01	0.4	0.475	Various agitators	Moo-Young and Blanch (1981)
Noncoalescing	0.026	0.5	0.4	Not specified	van't Riet (1979)
	0.0018	0.3	0.7	Six-bladed Rushton turbines	Moo-Young and Blanch (1981)
	0.02	0.4	0.475	Various agitators	Moo-Young and Blanch (1981)
	0.002	0.2	0.7	Not specified	van't Riet (1979)

*Parameter values are specified in SI units, i.e., the power input is in W m^{-3} and the superficial gas flow rate is in m s^{-1} .

Was ist Leistungseintrag?

Mischzeit

Sauerstoffeintrag



Mechanische
Belastung

Rotating camera for investigation of hydrodynamics in shake flasks

Video camera with wireless transmitter

Shake flask

Rotating disk

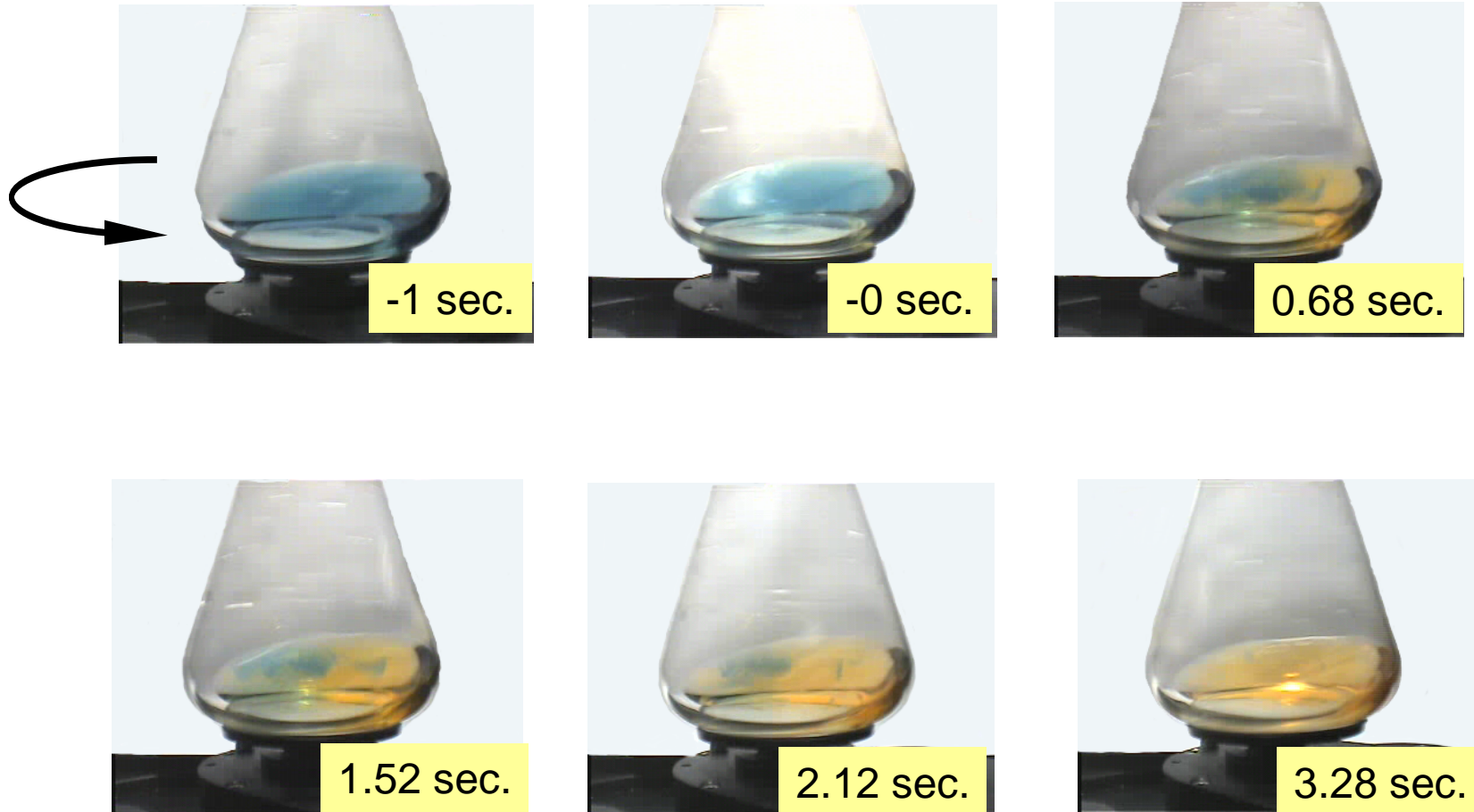
Wireless receiver



Analysis by classic last streak method

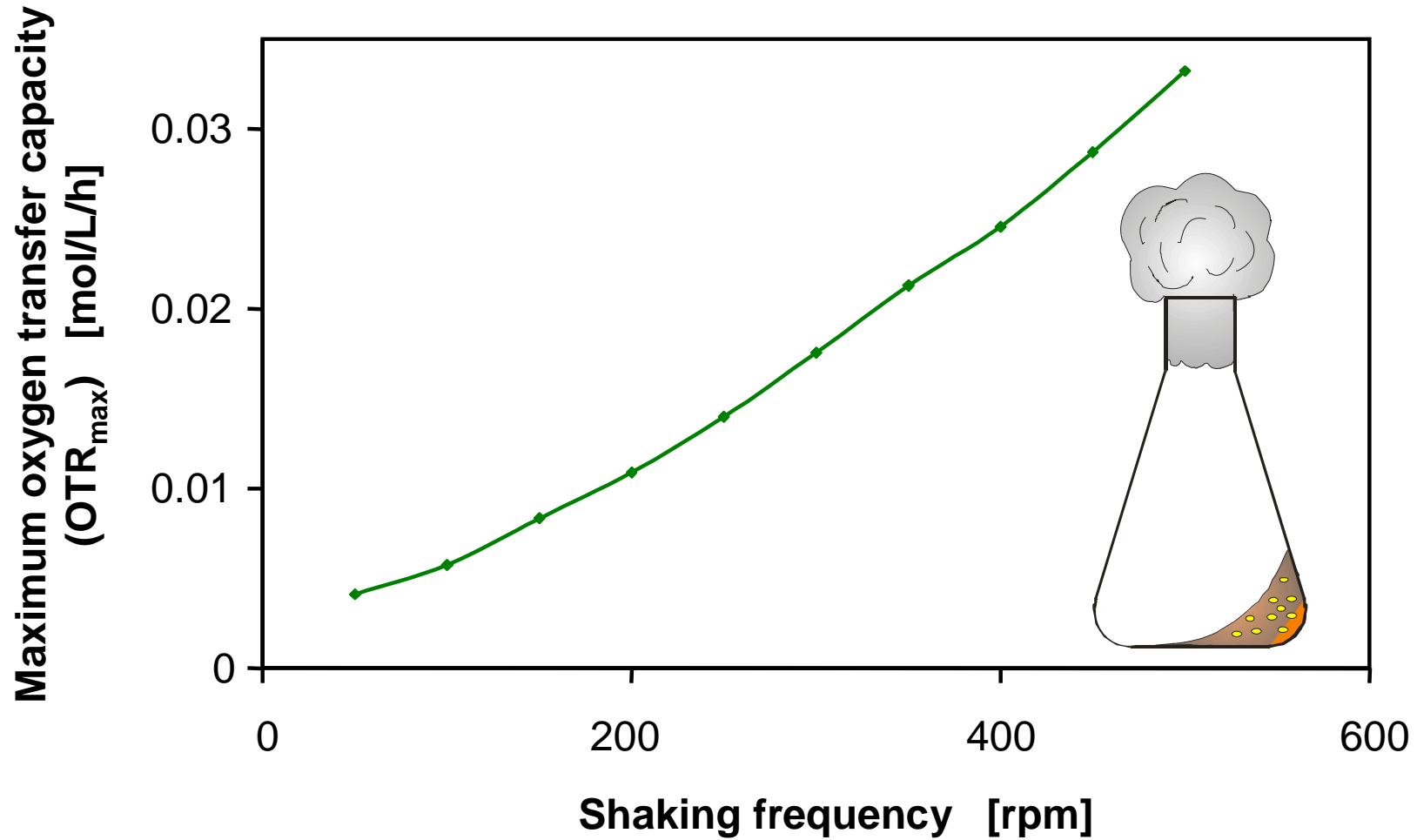
Shake flask volume 250 ml, liquid volume 25 ml,
shaking diameter 50 mm, shaking frequency 117 rpm

Video sample rate: 25 frames per second => 1 Frame = 0.04 sec.



Oxygen transfer capacity in 250 mL shaking flasks

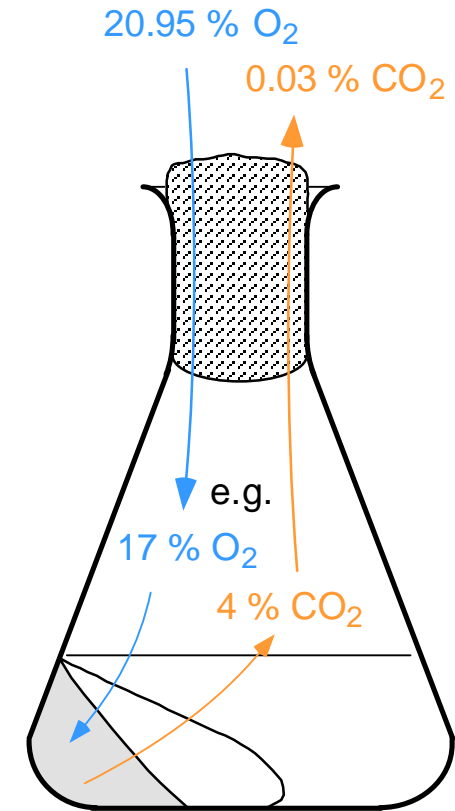
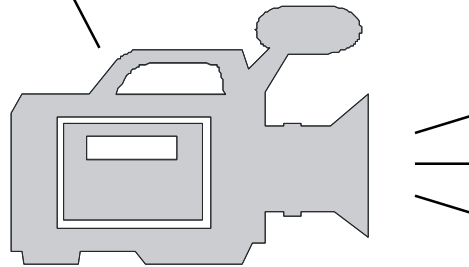
Shaking diameter 25 mm, filling volume 25 mL



Optical determination of the oxygen transfer rate

$$\text{OTR} \sim \frac{\text{stoichiometric amount of sulphite}}{\text{time for oxidation}}$$

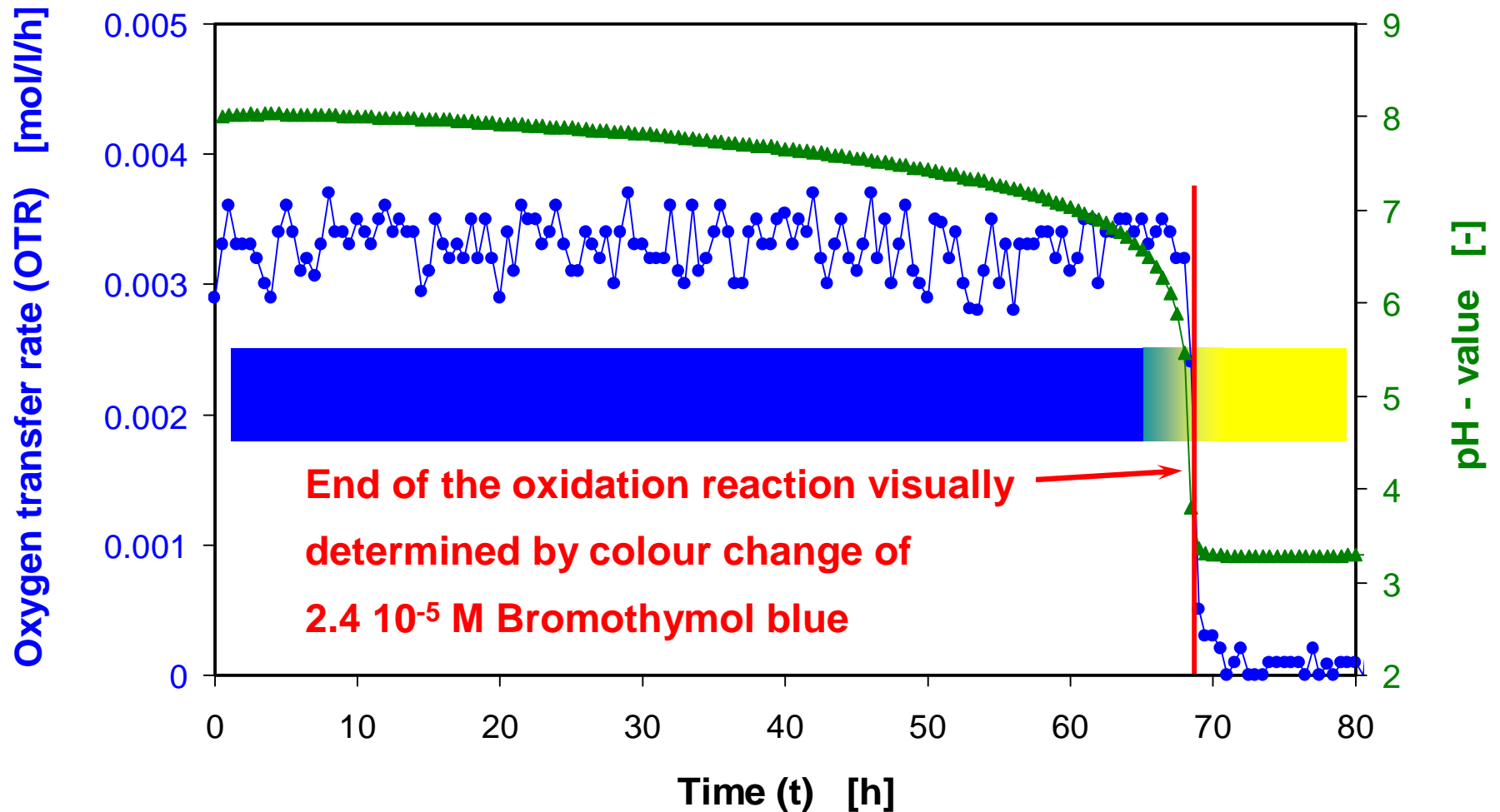
video camera



- gas/liquid mass transfer coefficient and
- mass transfer resistance of sterile barrier

can be characterised

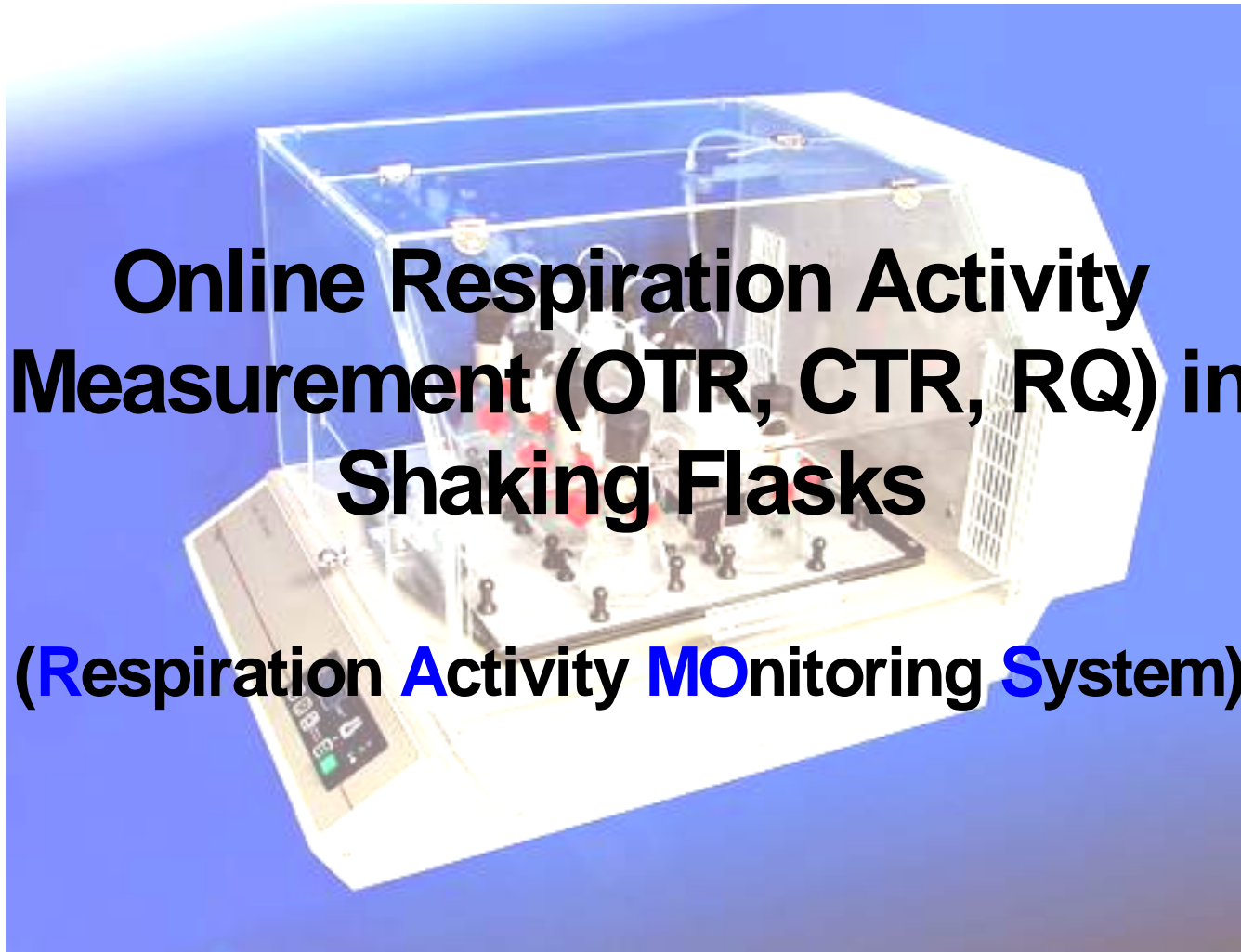
Optical determination of the oxygen transfer rate



Case study:

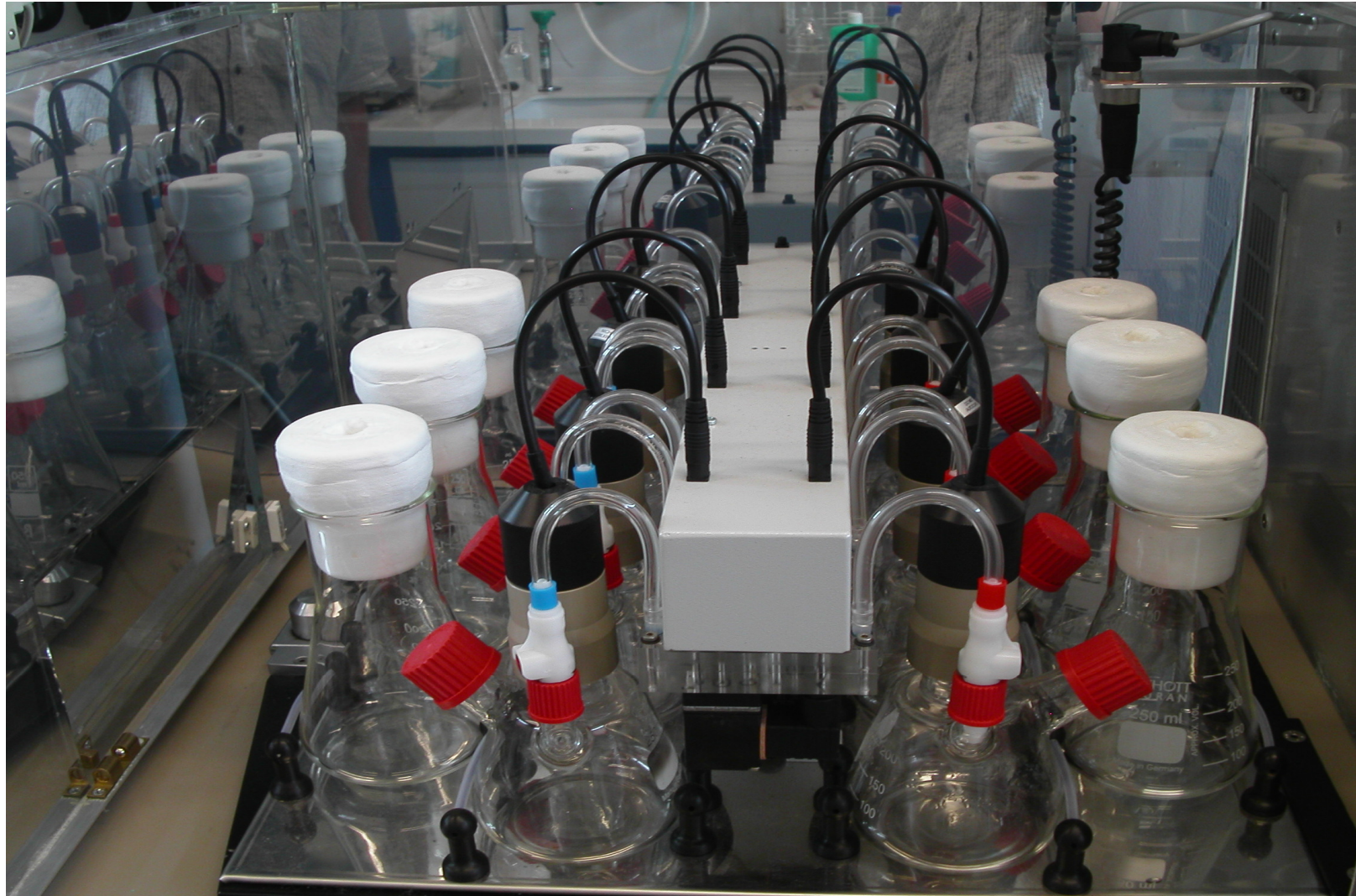
**Online Respiration Activity
Measurement (OTR, CTR, RQ) in
Shaking Flasks**

(Respiration Activity Monitoring System)



Device for on-line measurement of O₂- and CO₂-transfer rate (OTR, CTR, RQ)

Respiration Activity **M**onitoring **S**ystem (RAMOS)



Fields of application

- 4 Online tracing of microbial cultures in shaking reactors (many details of the culture behaviour can be clarified at this very early stage of bio-process development).
- 4 Easy determination of characteristic values for scale up (OTR, CTR, RQ, μ_{\max} , $k_L a$...).
- 4 Recognition and prevention of oxygen and substrate limiting, product inhibition.
- 4 Identification of changes in metabolism (e.g. diauxic growth)
- 4 Recognition of suitable conditions for conventional mass screening (operating duration, media, operating conditions).
- 4 Media optimisation, reduction of media developing time.
- 4 Fermentation balancing.
- 4 Verification of molecular biological approaches.
- 4 Process optimisation
- 4 Quality control.
- 4 Scale up

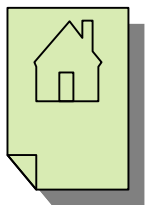
با روشهاي معمول فعلي SSB مقايسه

- مقايسه كمي اين تكنيك در مورد صرفه جويي در هزينه ها و Lab Bioreactors (زمان نسبت به فرايندهاي مرسوم) كه از كارهاي تجربي محققين استخراج شده است در زير آمده است

صرفه جويي در زمان بهينه سازي	صرفه جويي در زمان عملکرد	صرفه جويي در ماده اوليه
۷۵%	۳۴%	۸۷%

میکرو ارگانیسرها صنعتی و سلول های گیاهی و SSB جانوری استفاده شده در

- Ø *Bacillus spez.*
- Ø *Botrytis cinerea*
- Ø *Catharanthus roseus*
- Ø *Corynebacterium glutamicum*
- Ø *Escherichia coli*
- Ø *Gluconobacter oxidans*
- Ø *Hansenula polymorpha*
- Ø Hybridoma Cells
- Ø *Lactobacillus kefir*
- Ø *Nicotiana tabacum*
- Ø *Pichia pastoris*
- Ø *Pichia stipitis*
- Ø *Pseudomonas fluorescens*
- Ø *Pseudoalteromonas haloplanctis*
- Ø *Pseudomonas putida*
- Ø *Saccharomyces cerevisiae*
- Ø *Streptomyces lividans*
- Ø *Vibrio natregiens*
- Ø *Xanthomonas campestris*



Motivation

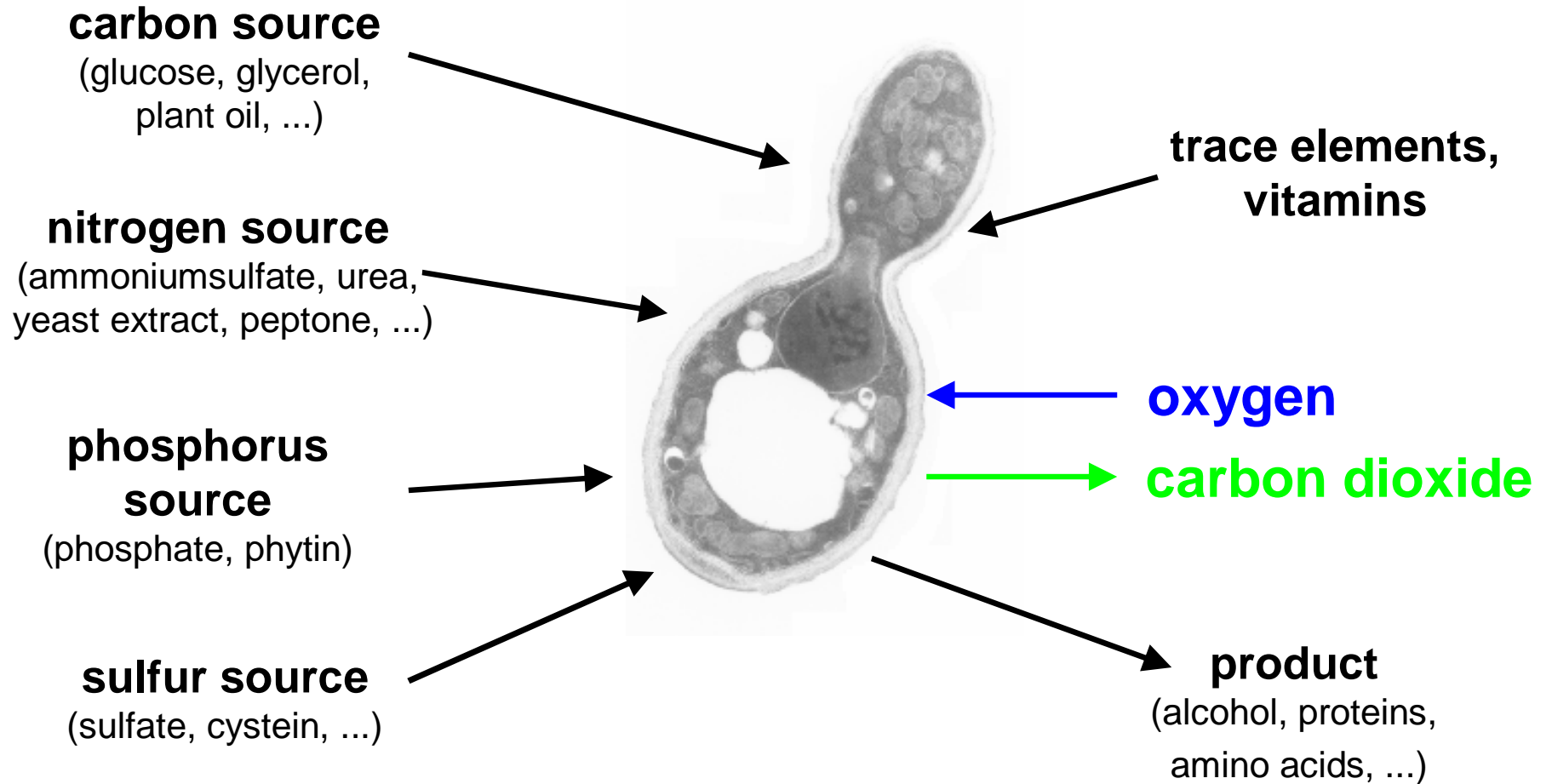
“The **disadvantage of the shake flask as an experimental system is that the experimenter has only **limited capabilities for on-line monitoring and control**”**

Payne et al., 1990

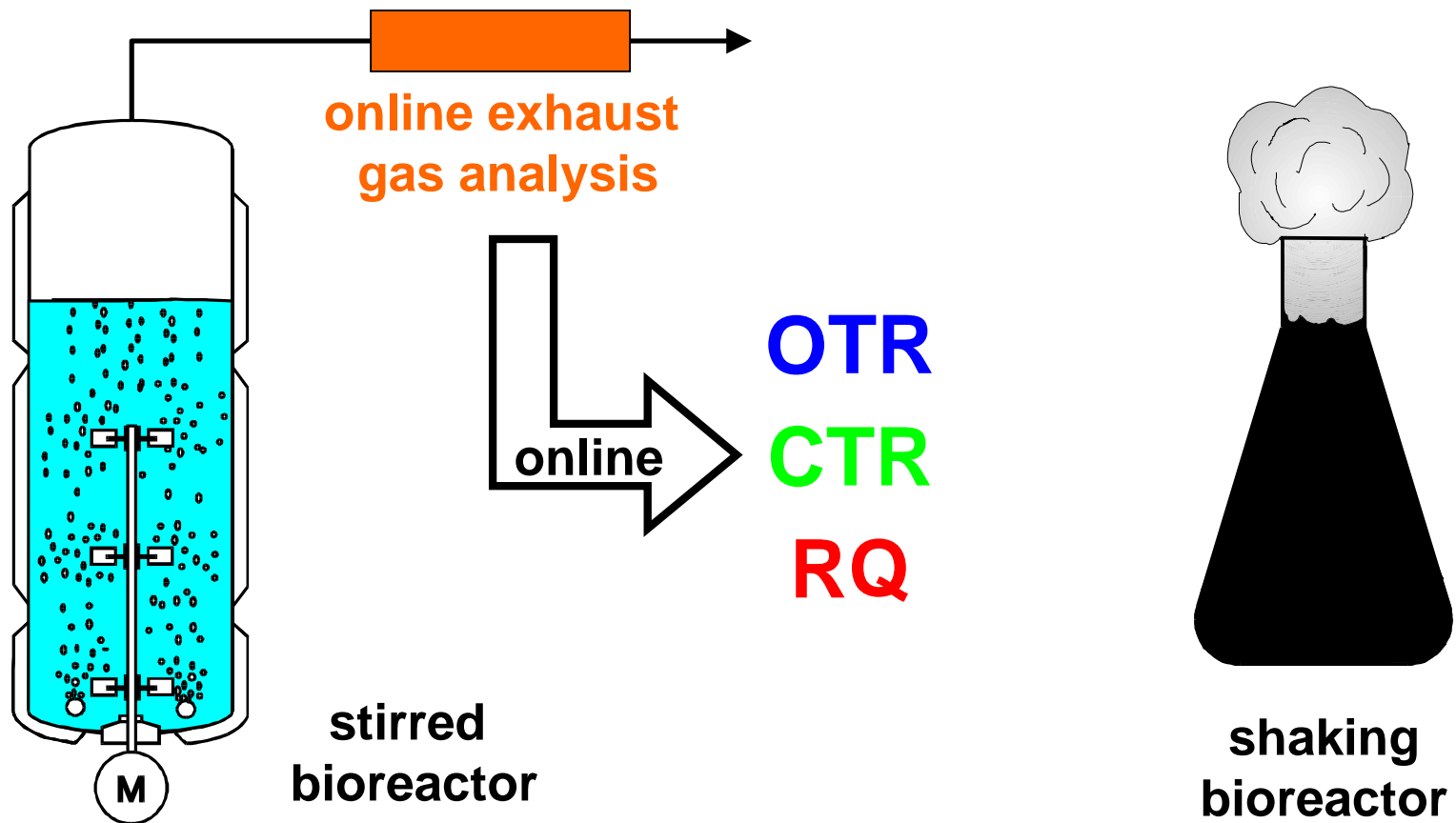
“Weakness** of small-scale liquid fermentations: **discontinuous monitoring**”**

Hilton, 1999

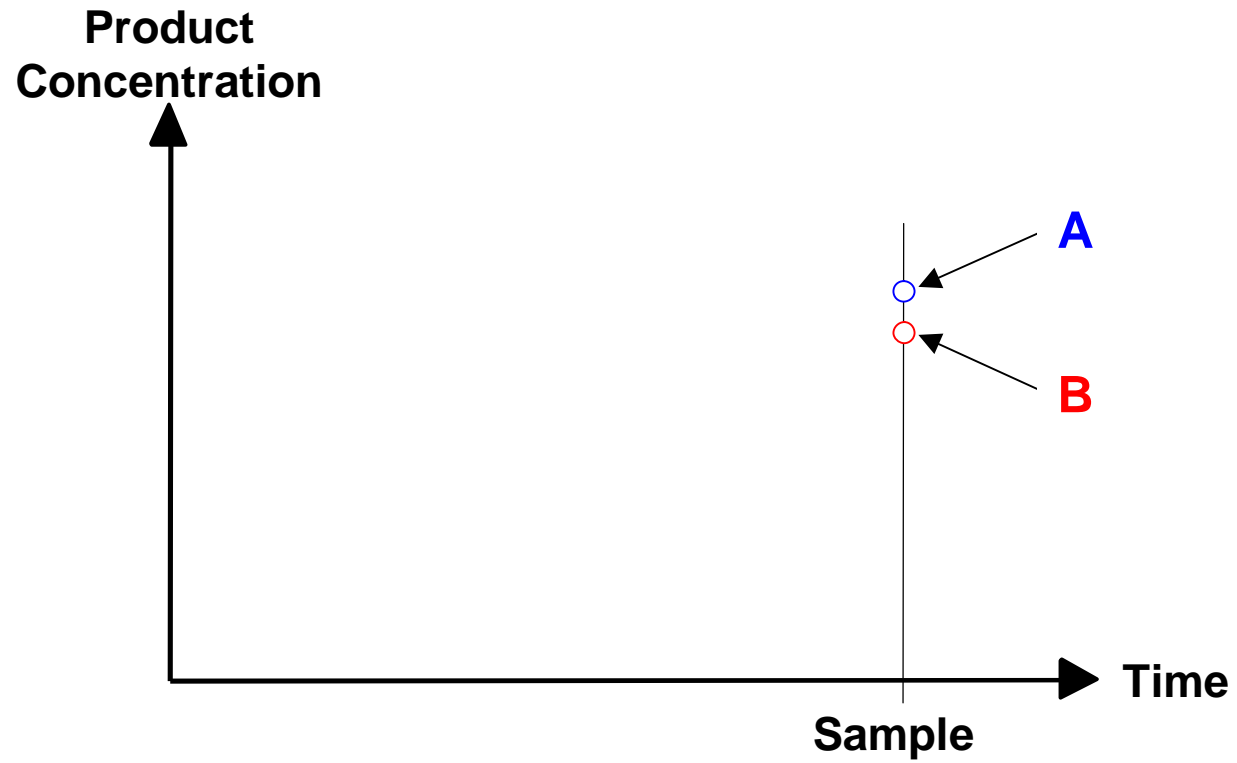
What kind of online measurement signal?

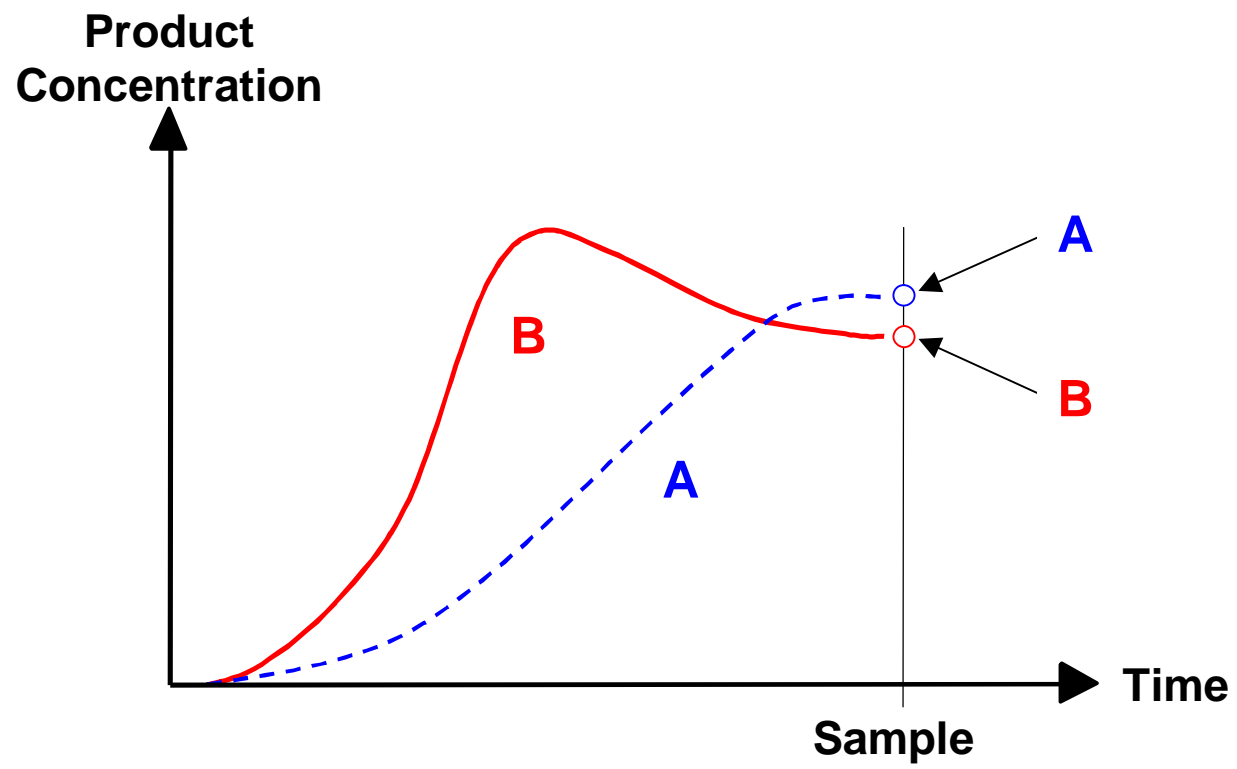


State of the Art



We do not know the course of the fermentation!

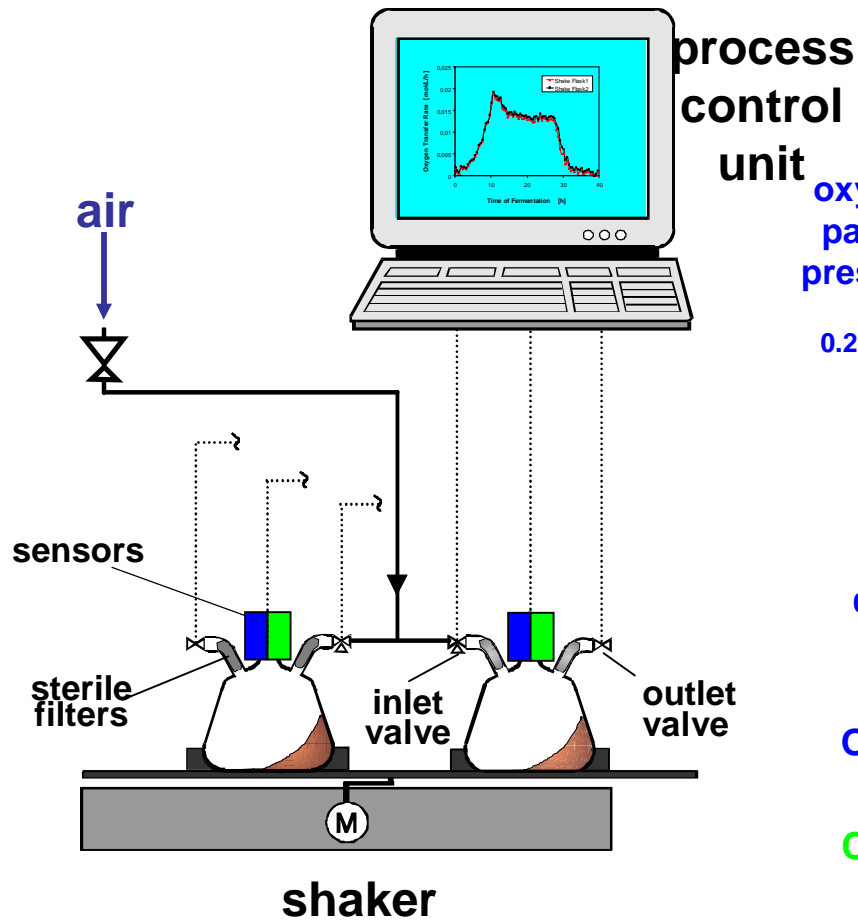




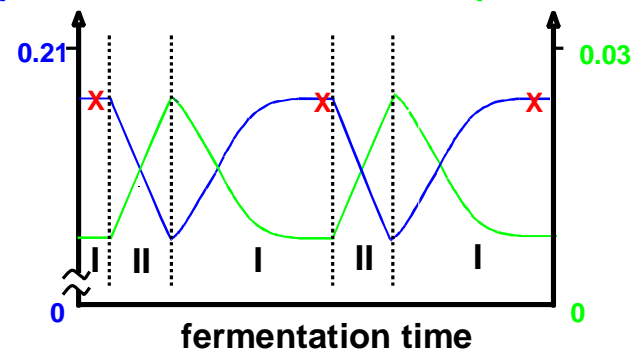
Solution



RAMOS measures **online** the
respiration activities (OTR, CTR, RQ)
of biological systems under **sterile**
conditions in **shaking flasks**

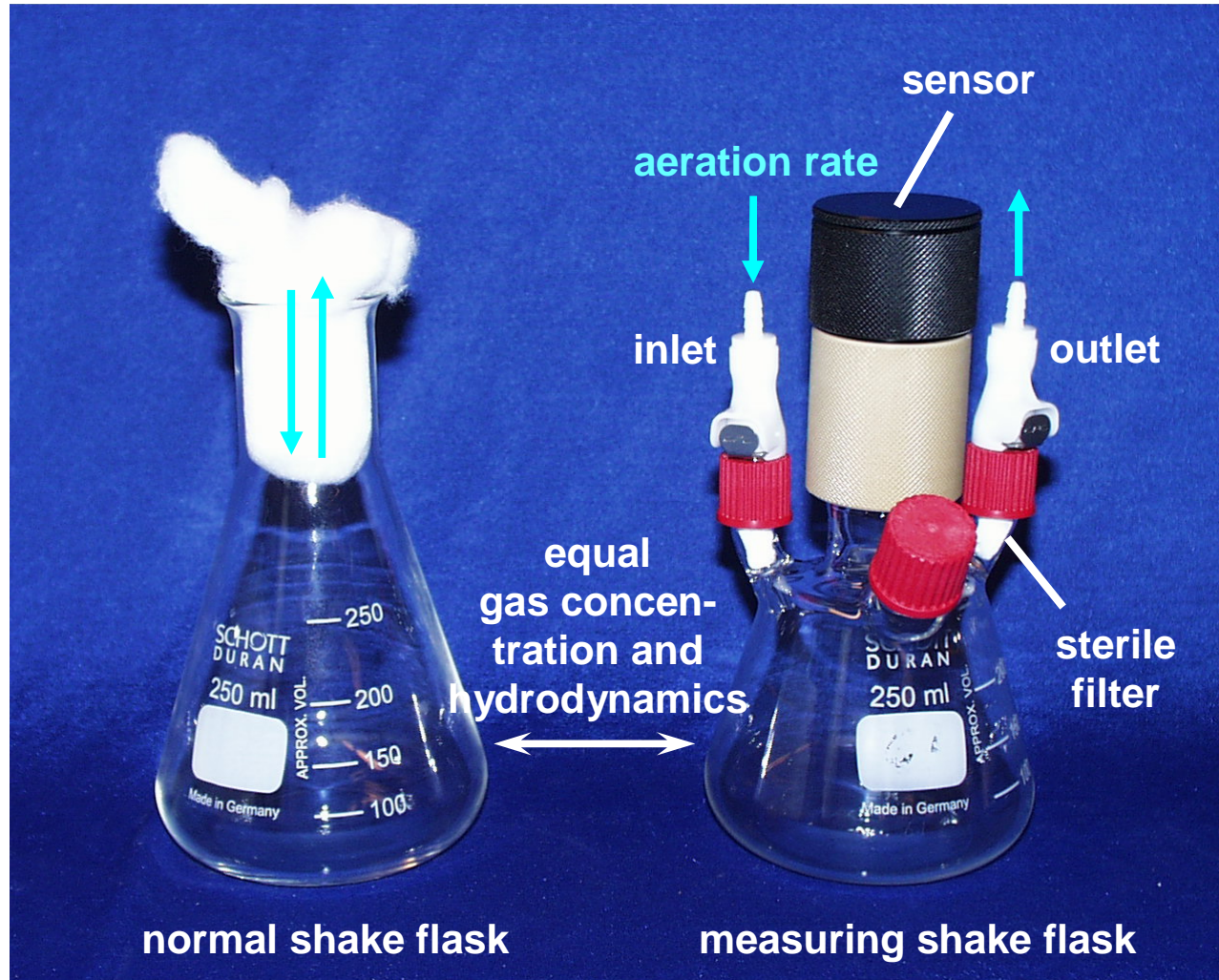


oxygen partial pressure I rinsing phase
 carbon dioxide partial pressure II measuring phase
 X calibration

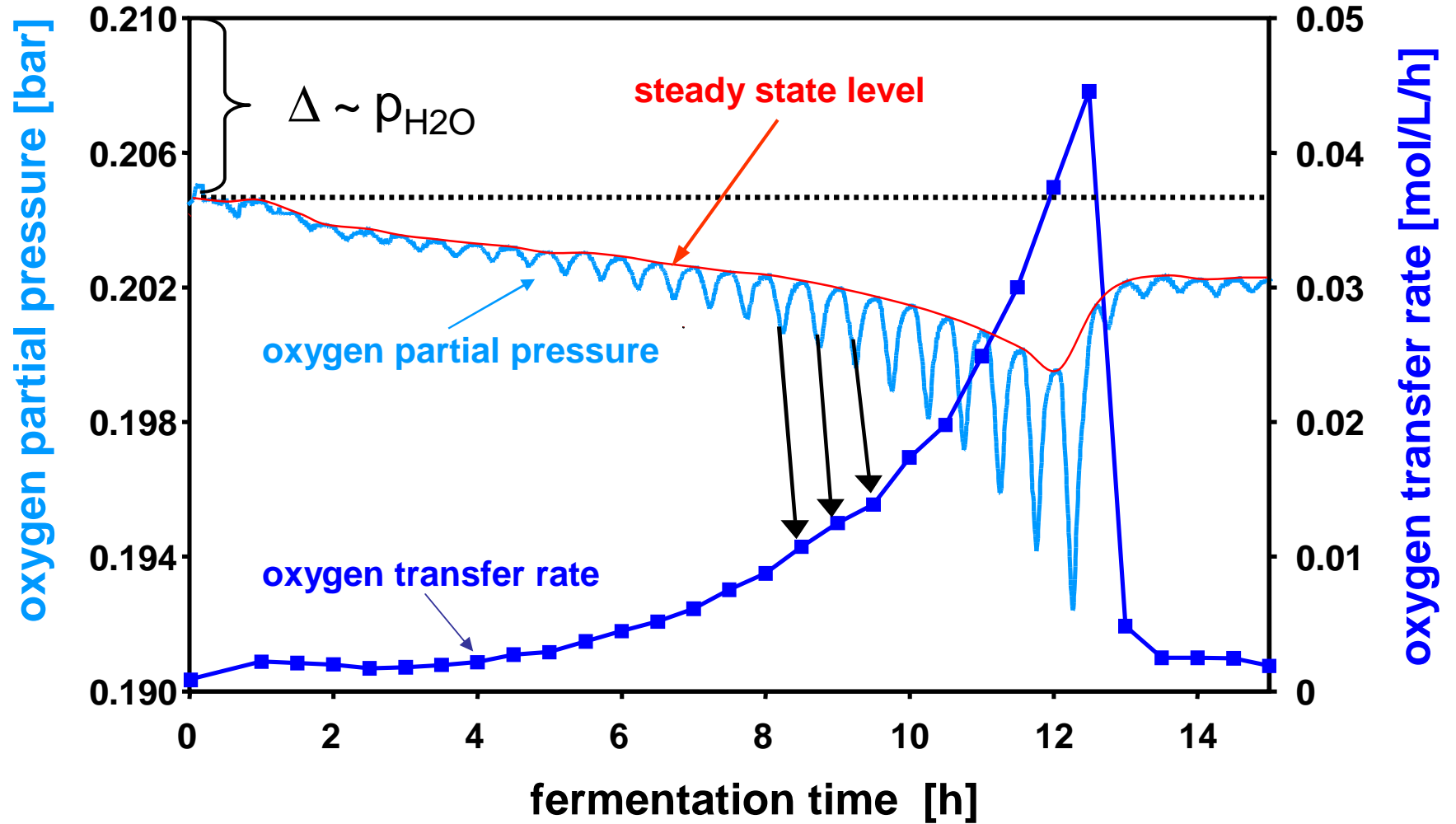


$$OTR = \frac{n_{O_2}}{V_l \times t} = \frac{\Delta p_{O_2}}{\Delta t} \times \frac{V_g}{R \times T \times V_l} \left[\frac{\text{mol}}{\text{L} \cdot \text{h}} \right]$$

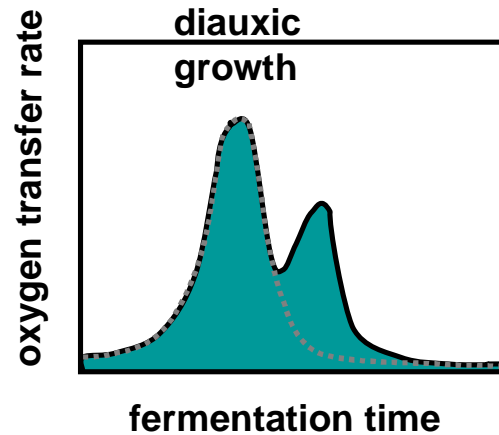
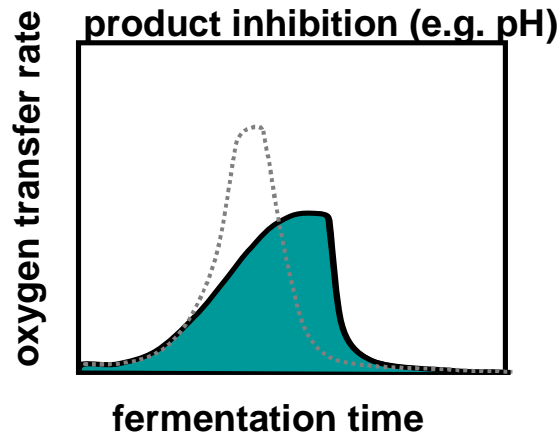
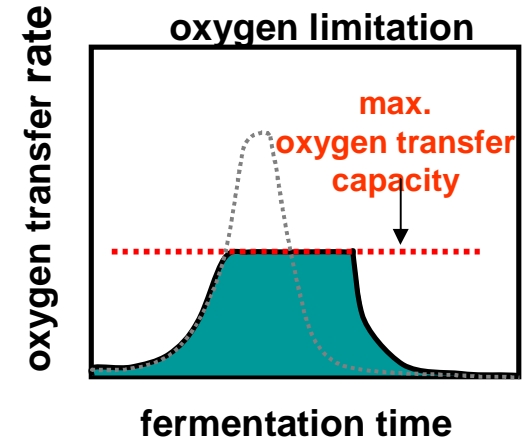
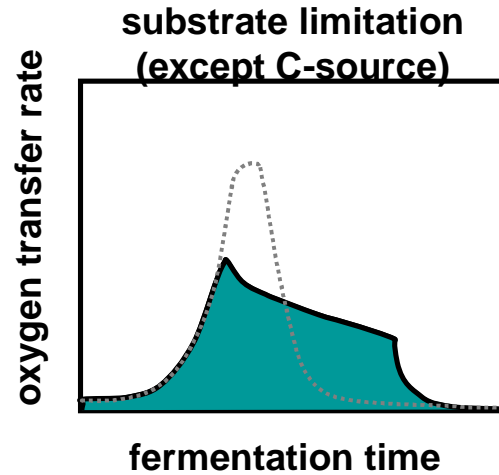
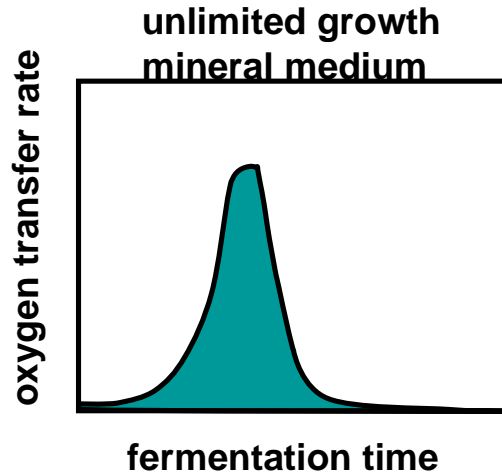
$$CTR = \frac{n_{CO_2}}{V_l \times t} = \frac{\Delta p_{CO_2}}{\Delta t} \times \frac{V_g}{R \times T \times V_l} \left[\frac{\text{mol}}{\text{L} \cdot \text{h}} \right]$$



Development of the OTR-course



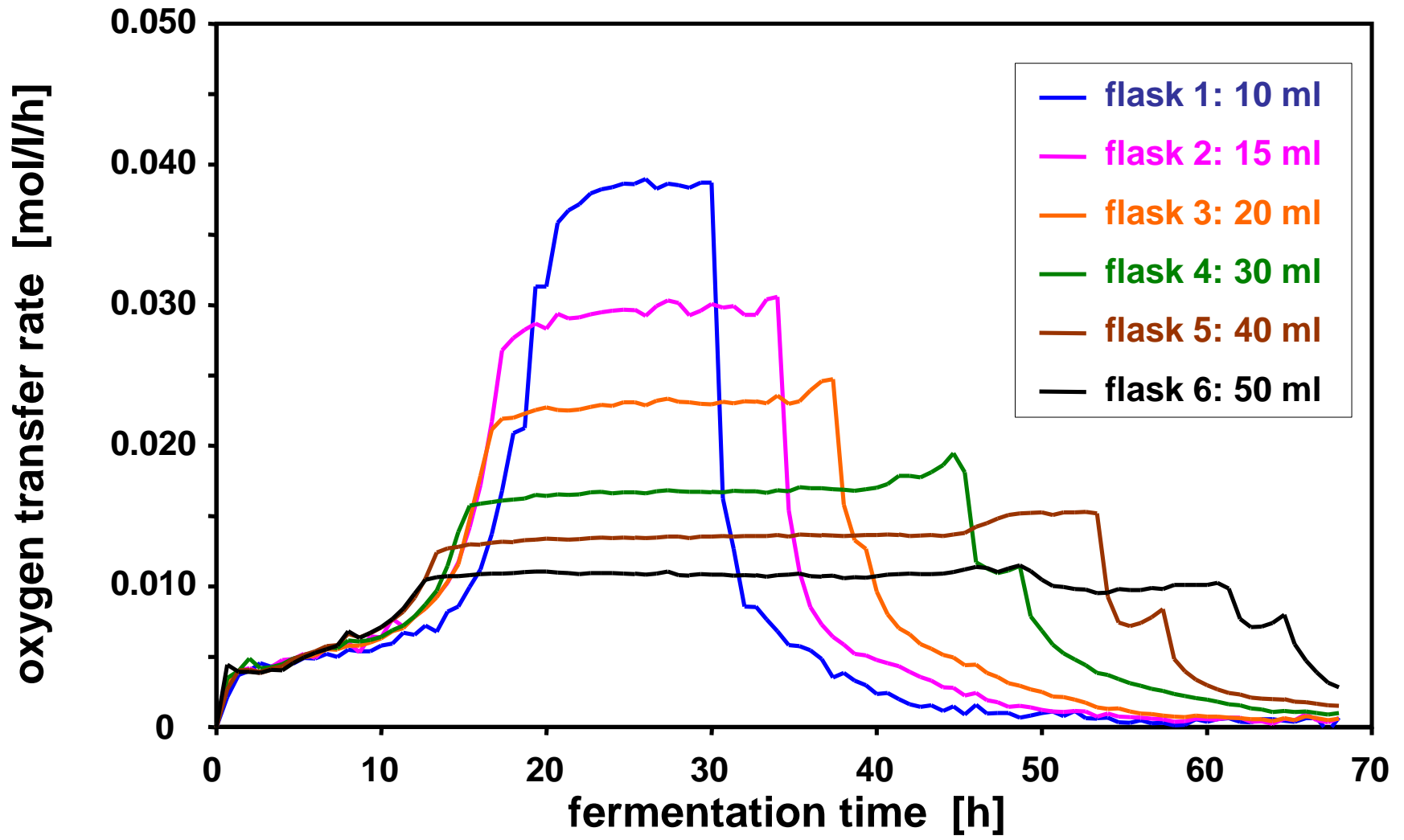
Selection of typical biological phenomena



 = total oxygen consumption

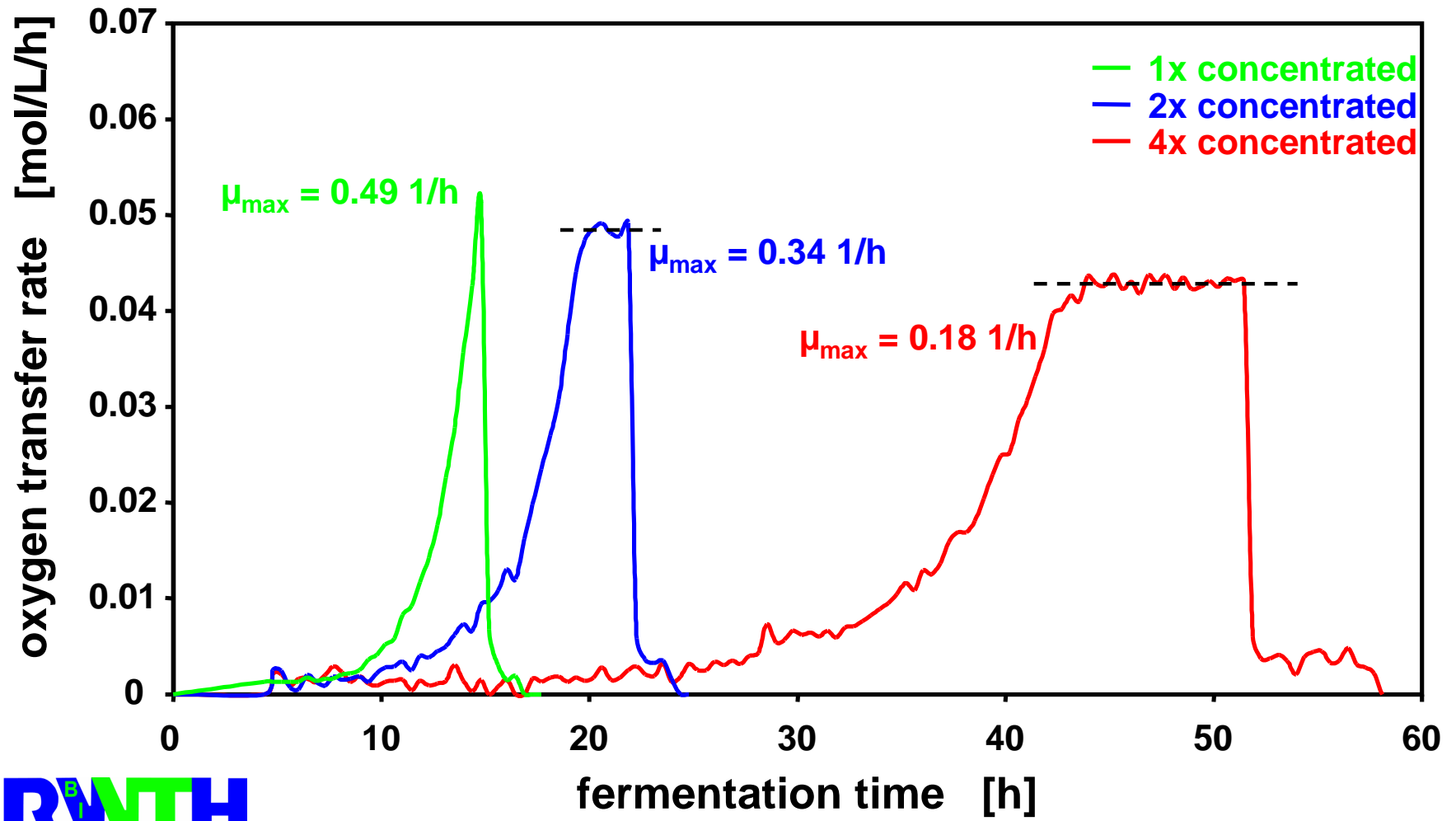
Corynebacterium glutamicum

30°C, mineral medium, 30 g/L glucose, with CaCO₃,
shaking frequency 200 rpm, shaking diameter 50mm



Media optimisation *Pseudomonas fluorescens*

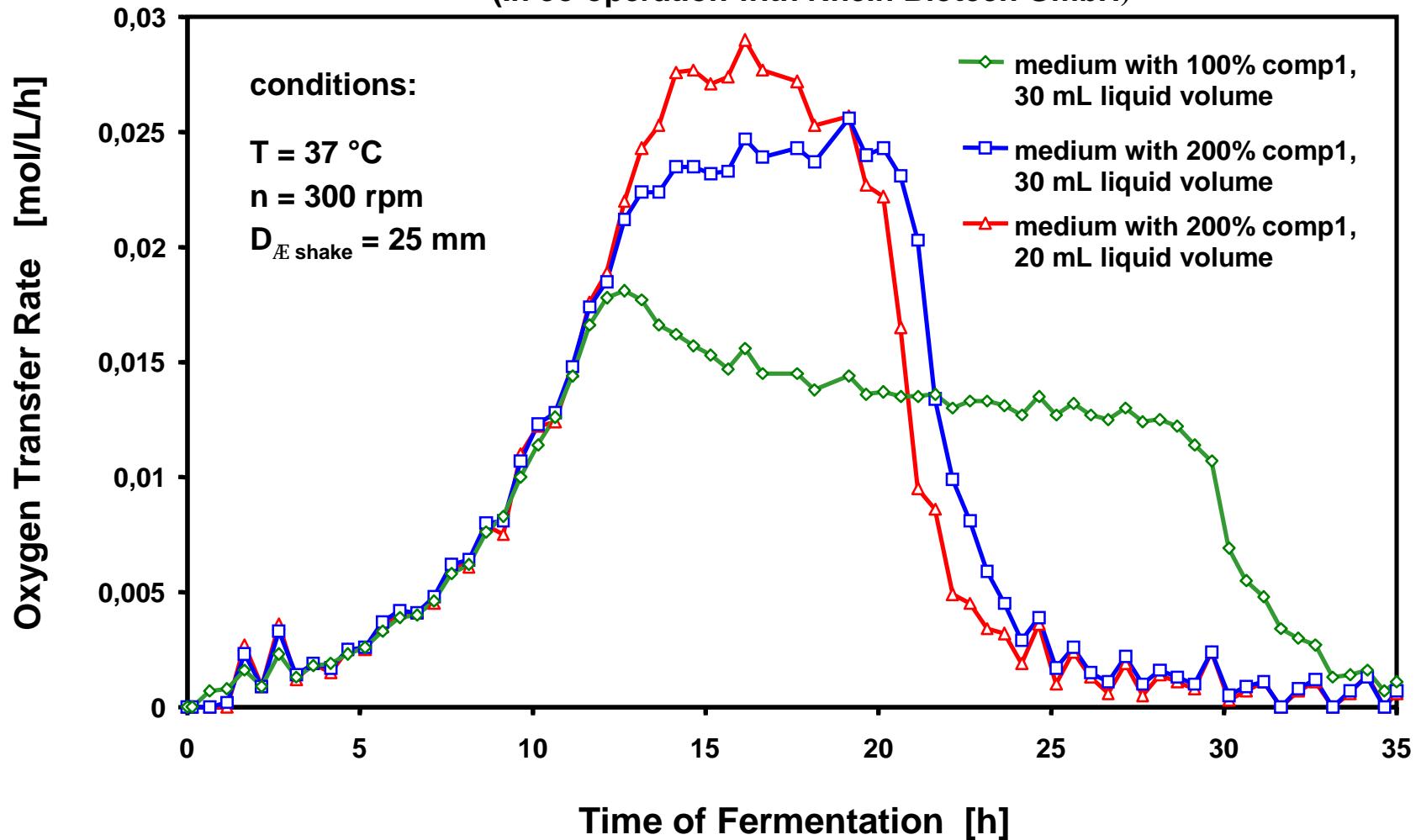
30°C, glucose 30g/L, complex medium
shaking frequency 200 rpm, shaking diameter 25mm,
filling volume 10mL



Media and process optimisation

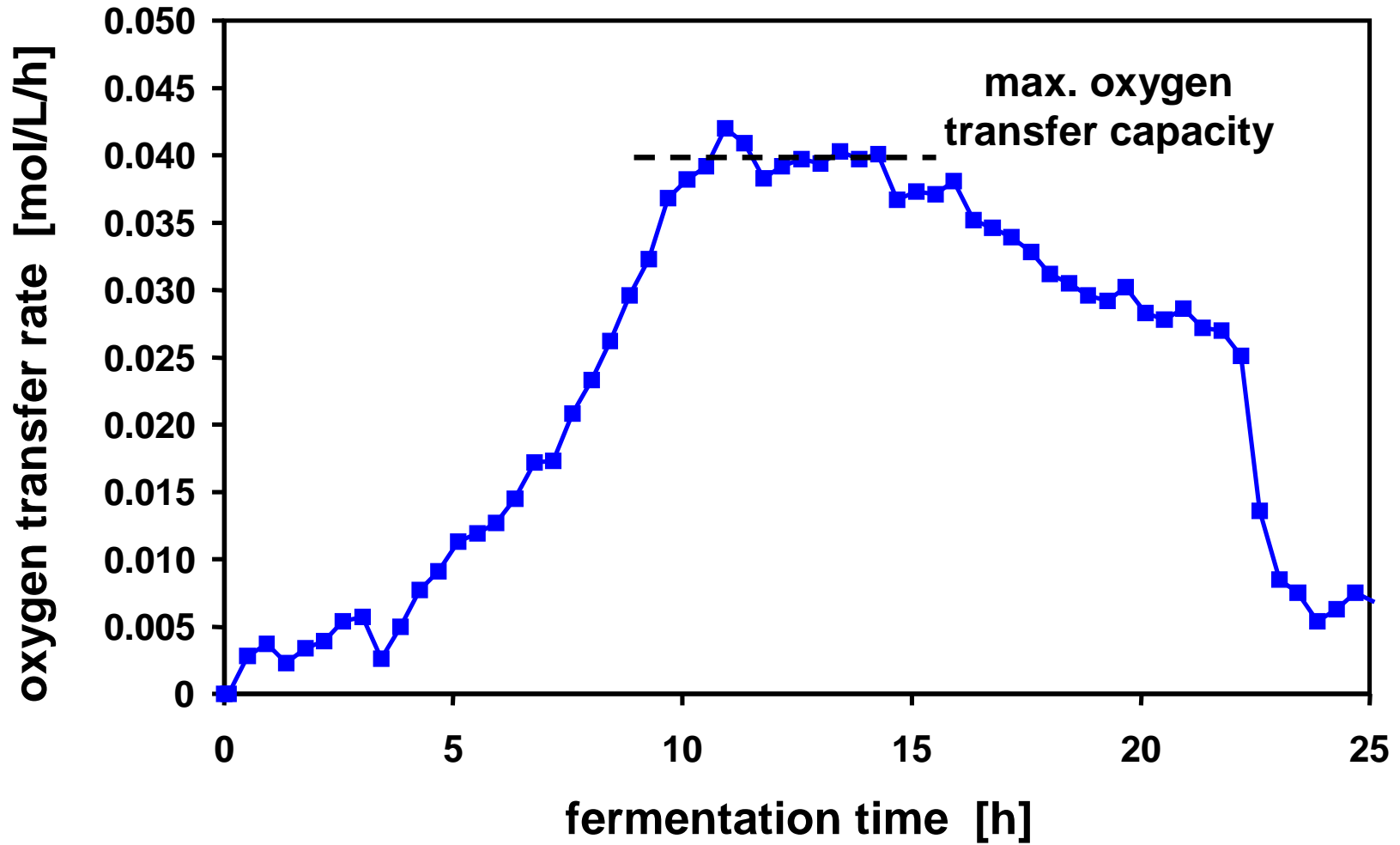
Yeast *Hansenula polymorpha*

(In co-operation with Rhein Biotech GmbH)



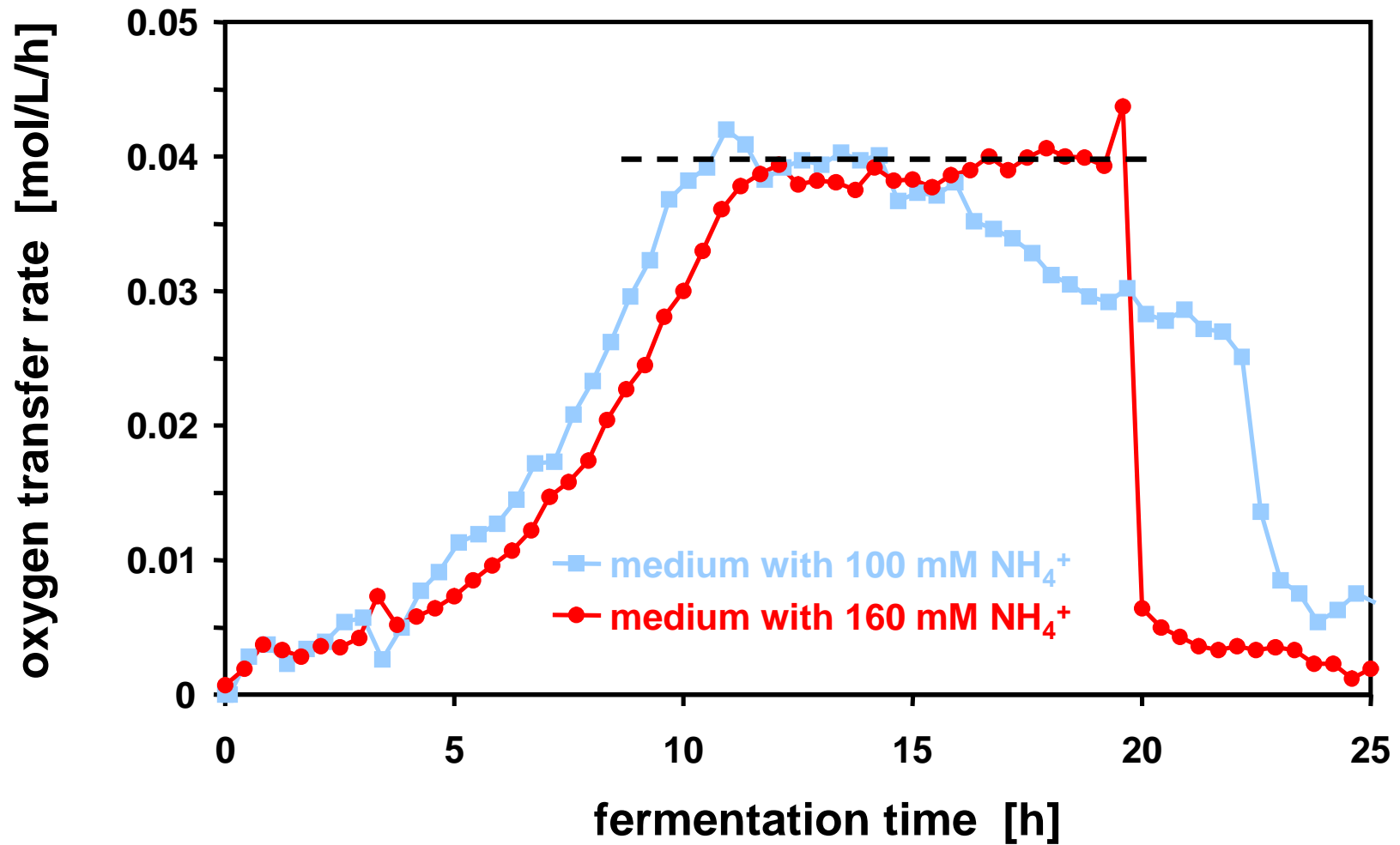
Pseudomonas putida

30°C, 30g/L glucose, mineral medium,
shaking frequency 250 rpm, shaking diameter
50mm,
filling volume 10mL



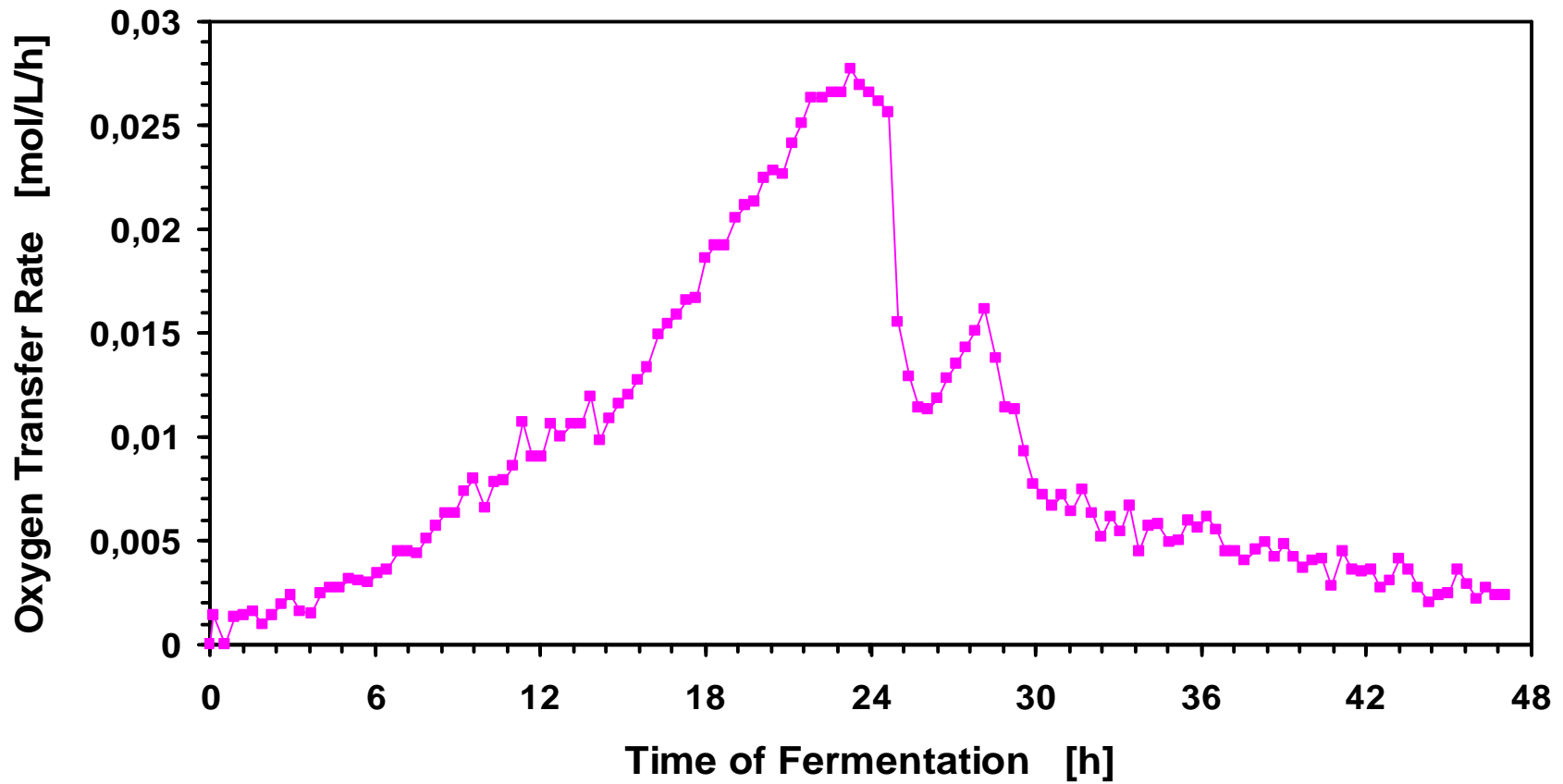
Pseudomonas putida

30°C, 30g/L glucose, mineral medium,
shaking frequency 250 rpm, shaking diameter
50mm,
filling volume 10mL



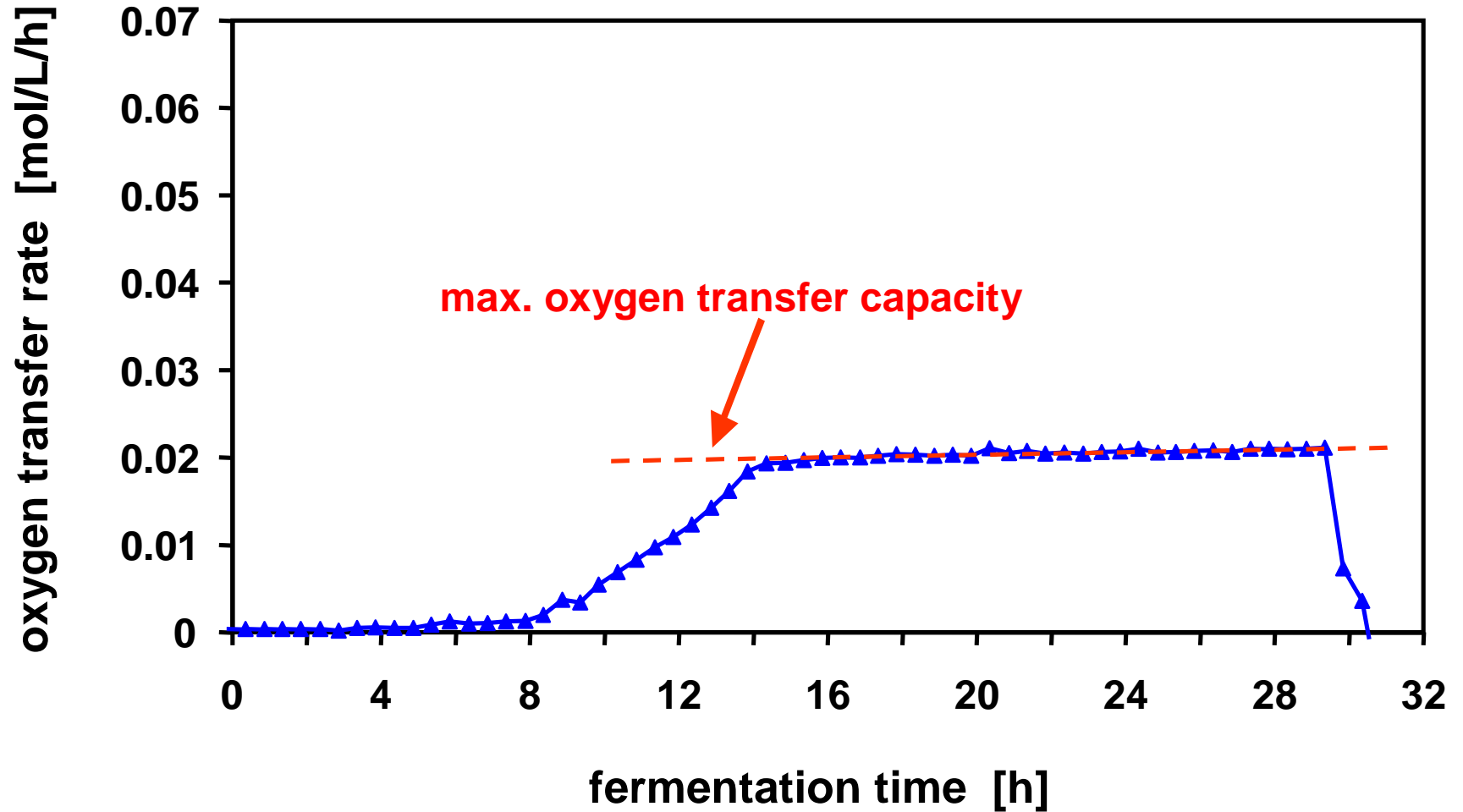
Bacteria *Rhodococcus spec.*

(Measurements carried out at the BASF AG)

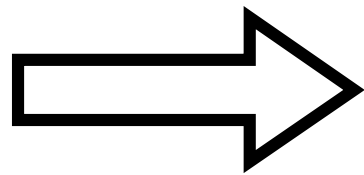


Saccharomyces cerevisiae

30°C, 20g/L glucose, complex medium,
shaking frequency 200 rpm, shaking diameter
50mm, filling volume 25mL



oxygen transfer rate
+
carbon dioxide transfer rate

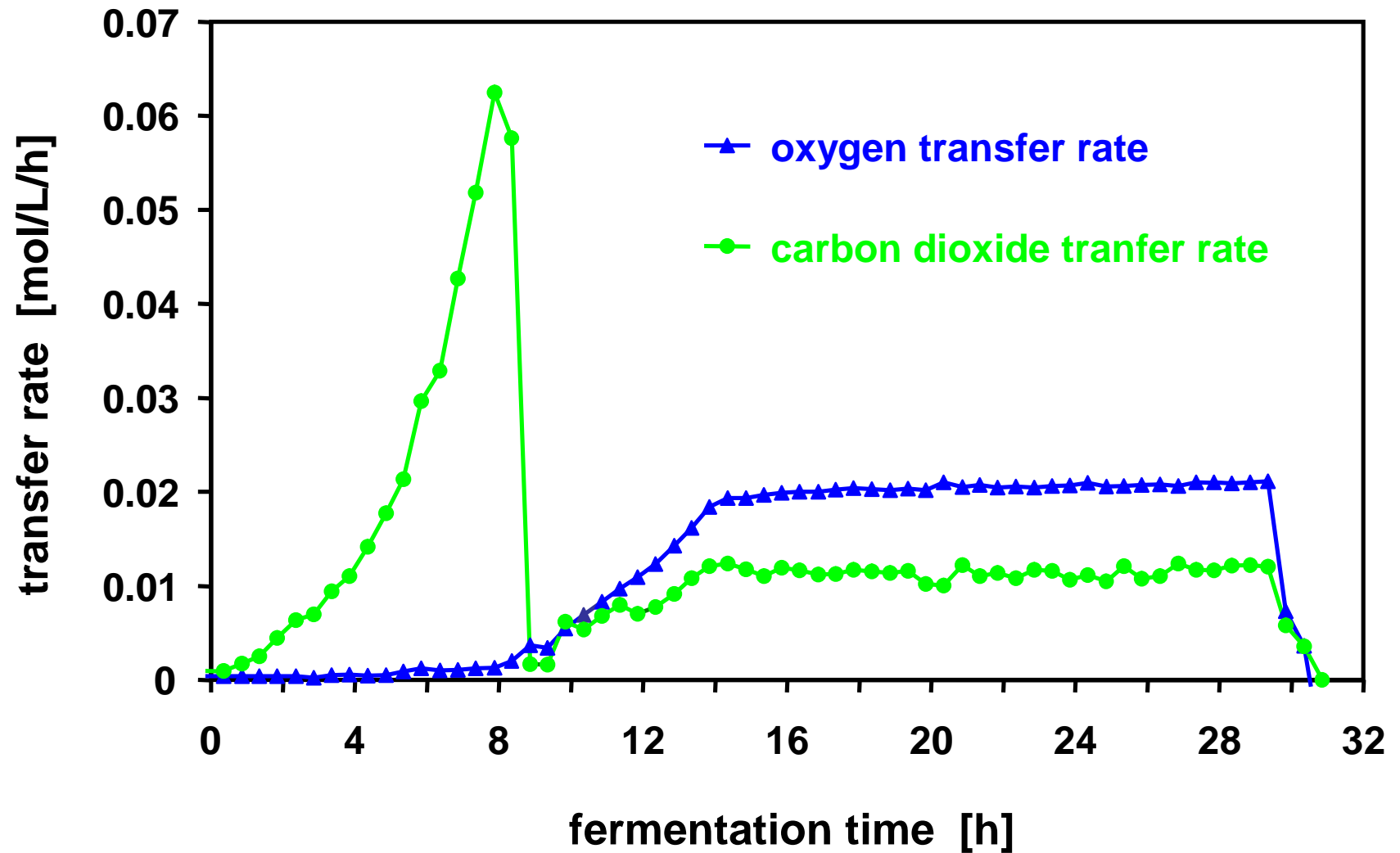


more information

Saccharomyces cerevisiae

Crabtree effect

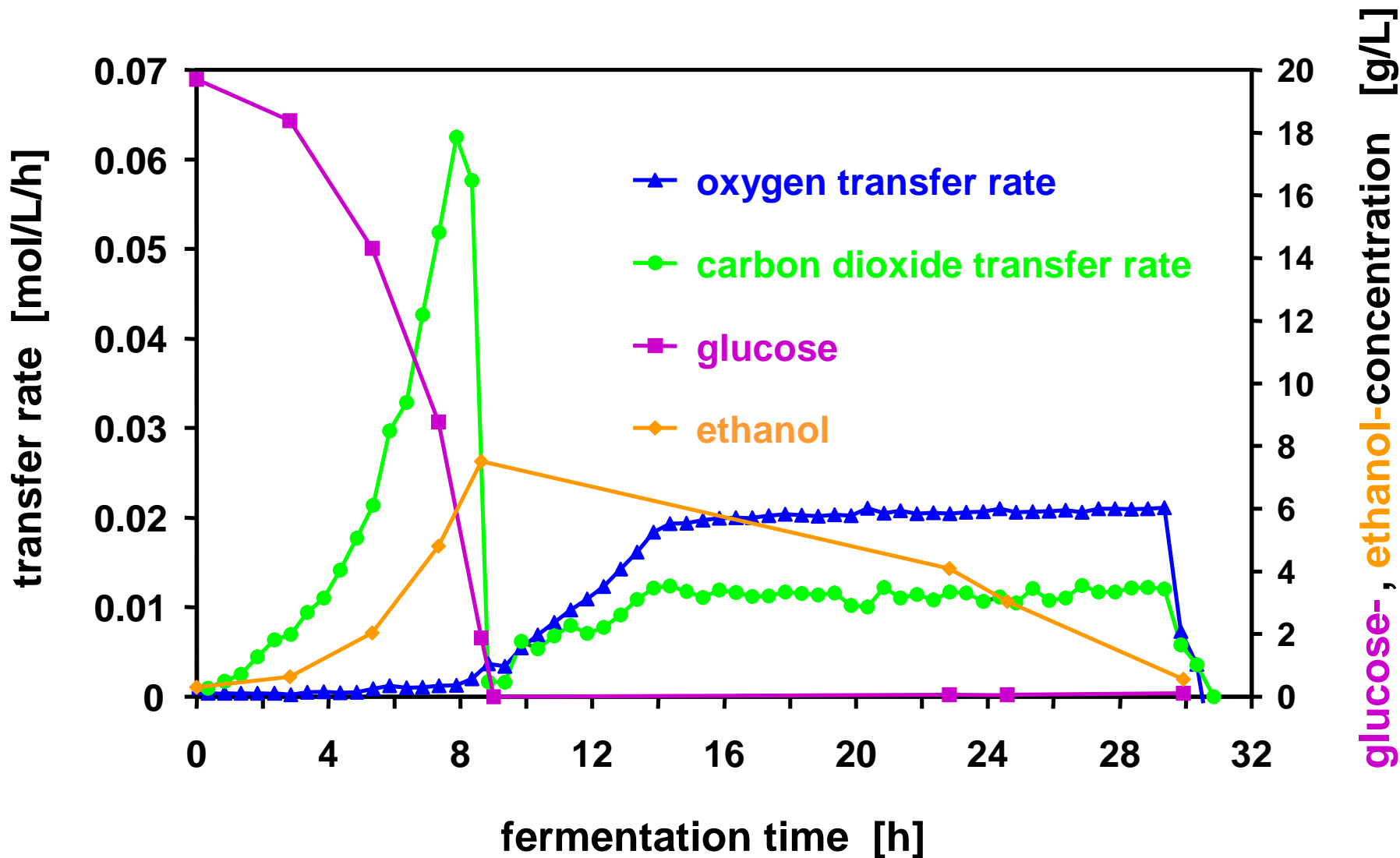
30°C, 20g/L glucose, complex medium,
shaking frequency 200 rpm, shaking diameter
50mm, filling volume 25mL





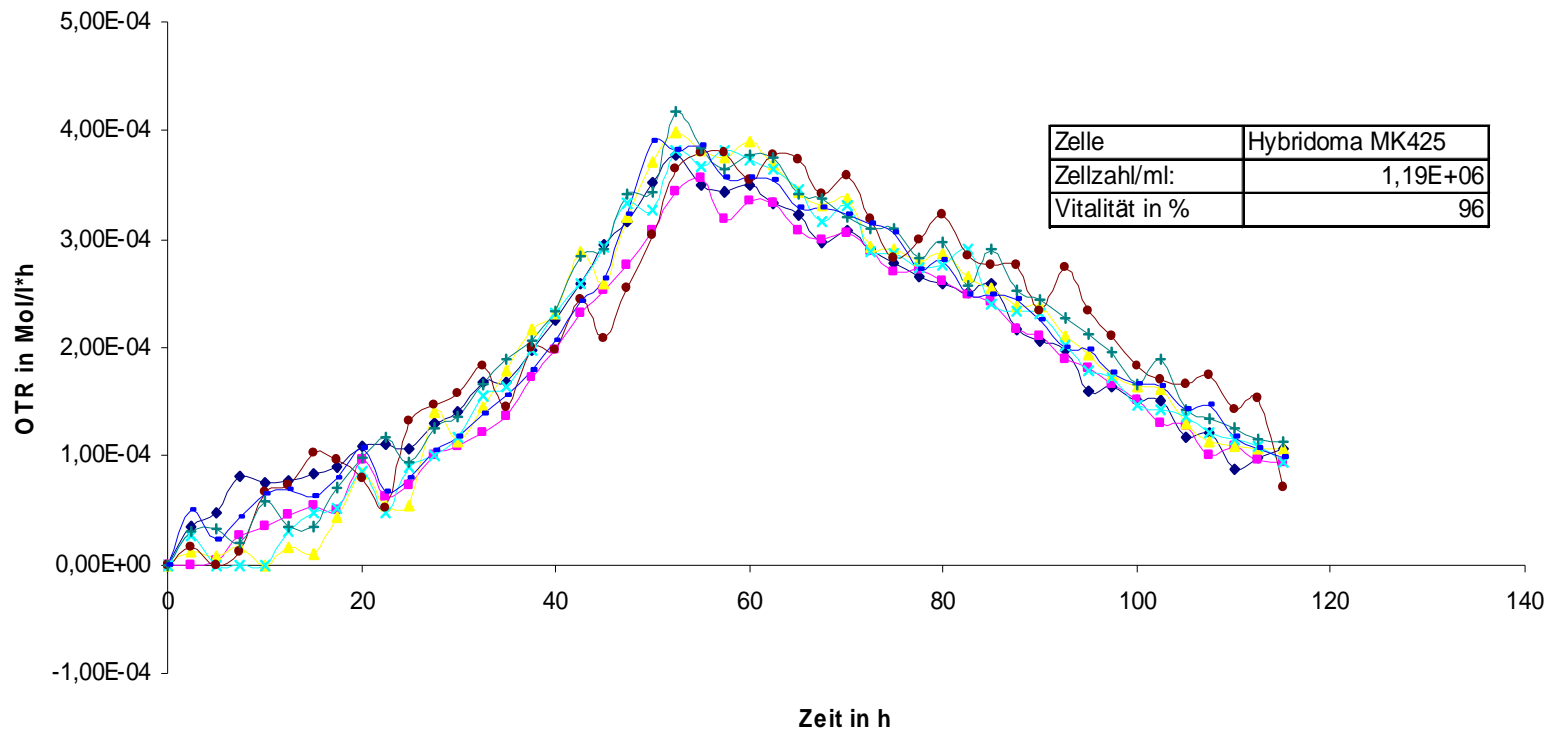
Saccharomyces cerevisiae

30°C, 20g/L glucose, complex medium,
shaking frequency 200 rpm, shaking diameter
50mm, filling volume 25mL



RAMOS Cell culture

RAMOS Reference 1



RAMOS - historische Daten
RAMOS V 3.1 HI/TEC ZANG

Operating control

New experiment

▼

Parameterize

▼

Oxygen calibration

▼

Leakage test

▼

Start experiment

System status

Phase

Remaining time

Sampling
Delete next
measure phase

Experiment ...

Print results

Temperature (actual value) °C

Communication: Offline

[manual settings](#)

Parameters

Experiment name

Purpose of experiment

Operator

Measurement start

Preculture

Inoculation quantity

Shaker speed RPM

Flask

1	2	3	4	5	6	7	8	9
---	---	---	---	---	---	---	---	---

Flask volume ml

Liquid volume ml

Comment

max. measuring time min

rinsing time min

Measuring cycle min

max. O2-decrease/measuring mbar flask

O2-decrease >= 0,5 mbar = adaptive mode (var. measuring time)
O2-decrease < 0,5 mbar = measuring time like setting
Flask = 0, monitoring of all flasks

Temperature (set-value) °C

Flow rinsing phase ml/min

Oxygen content %

Unit

Experiment comments

08.05.03 15:42:39:
O2-Kalibr. fertig, Ergebnis: F F F F F F F F F F

08.05.03 15:44:41 :
Lecktest abgebrochen

08.05.03 15:55:53:
O2-Kalibr. fertig, Ergebnis: OK OK OK OK OK OK OK OK --

08.05.03 16:05:53:
Lecktest fertig, Ergebnis: F F F F F F F F F F

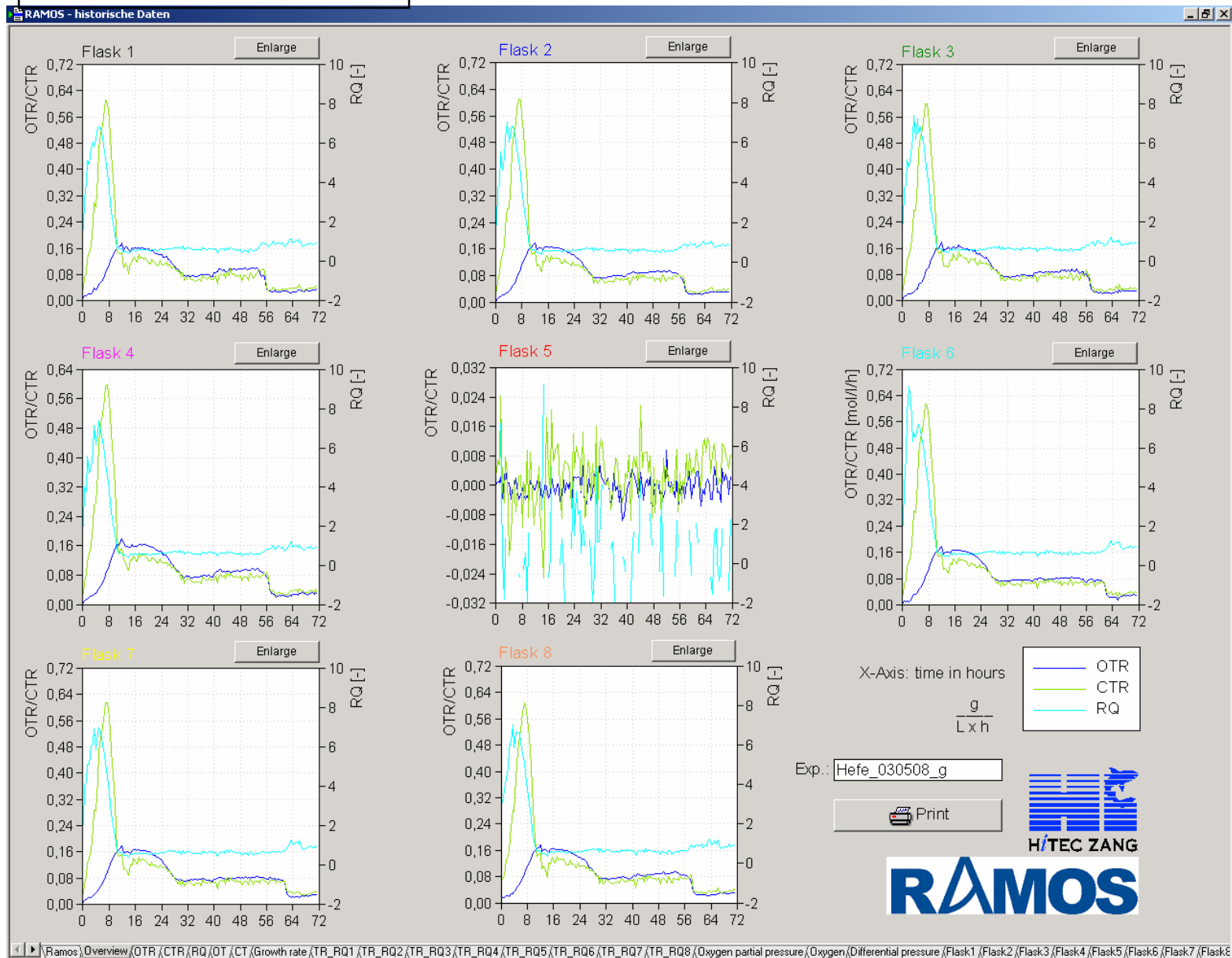
08.05.03 16:17:42:
O2-Kalibr. fertig, Ergebnis: OK OK OK OK OK OK OK OK --

0,00h (08.05.03 16:24:39):
Messung gestartet

71,68h (11.05.03 16:05:50):
Messung beendet

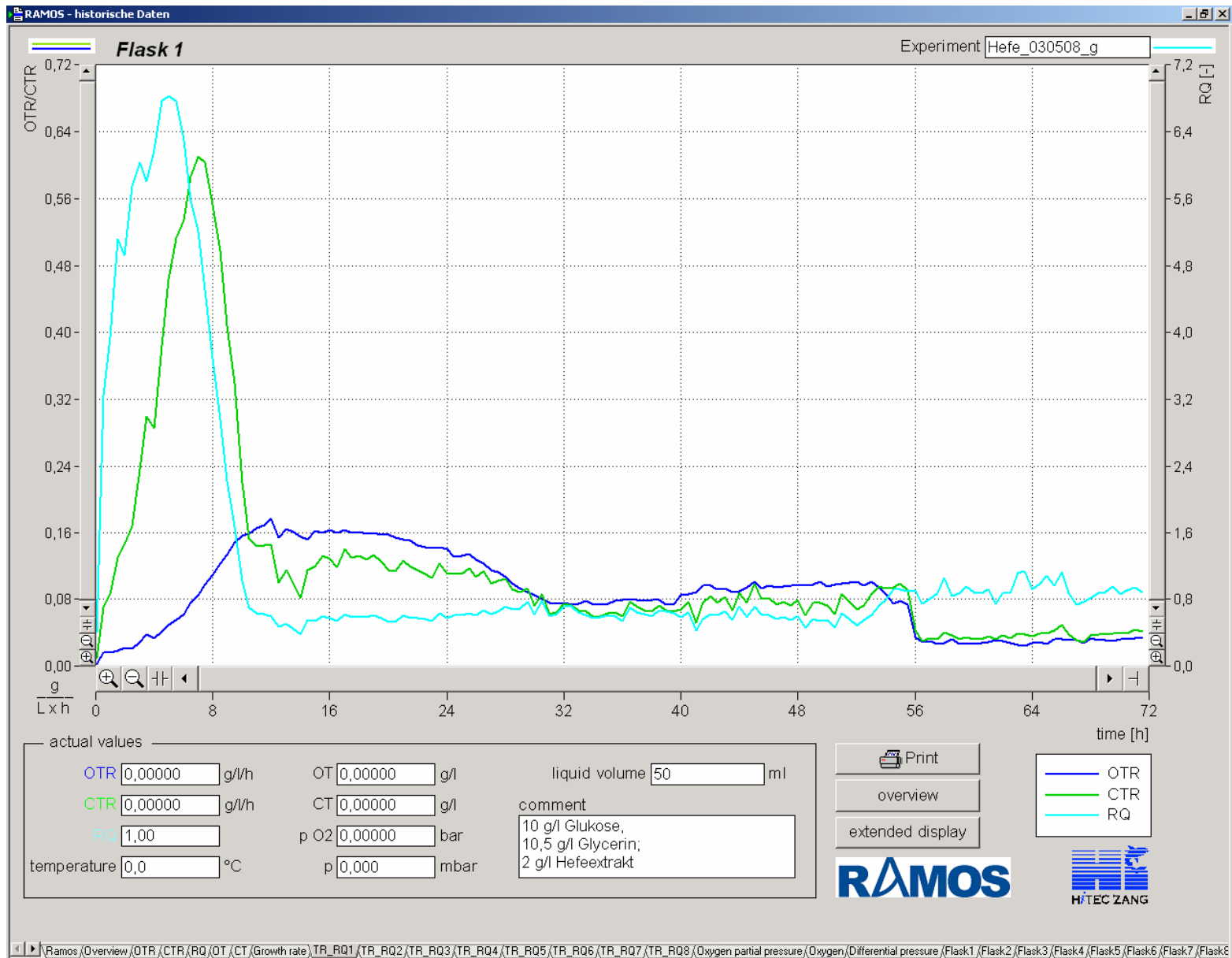
RAMOS / Overview / OTR / CTR / RQ / OT / CT / Growth rate / TR_RQ1 / TR_RQ2 / TR_RQ3 / TR_RQ4 / TR_RQ5 / TR_RQ6 / TR_RQ7 / TR_RQ8 / Oxygen partial pressure / Oxygen / Differential pressure / Flask1 / Flask2 / Flask3 / Flask4 / Flask5 / Flask6 / Flask7 / Flask8

Overview



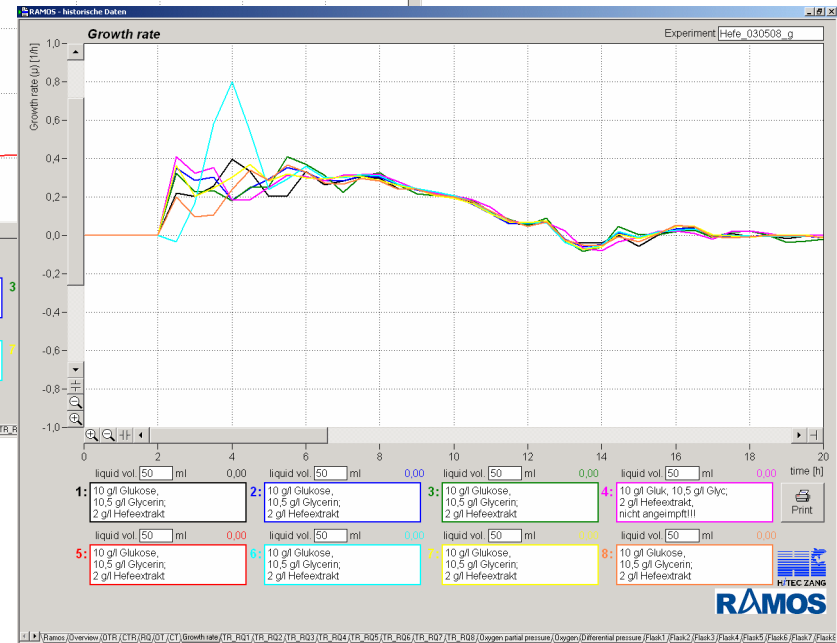
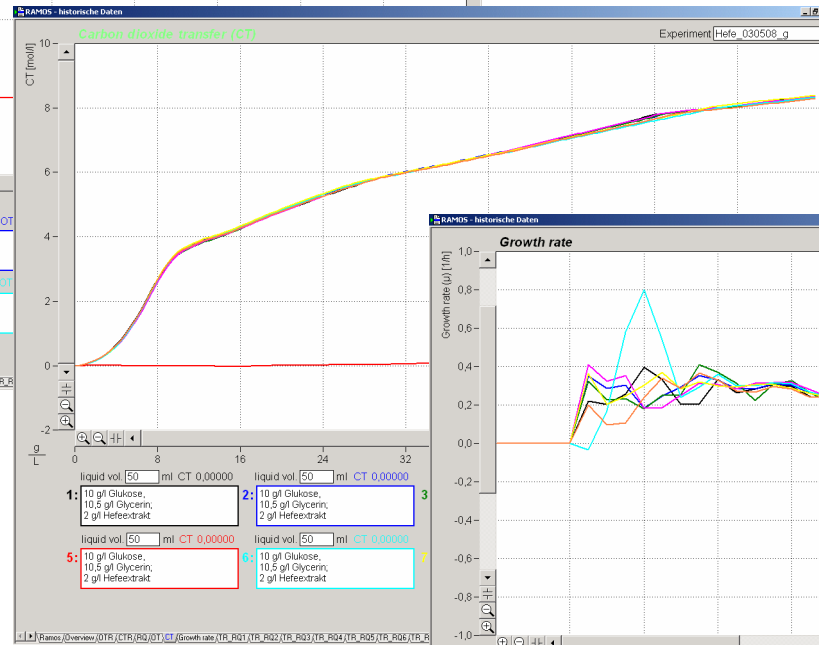
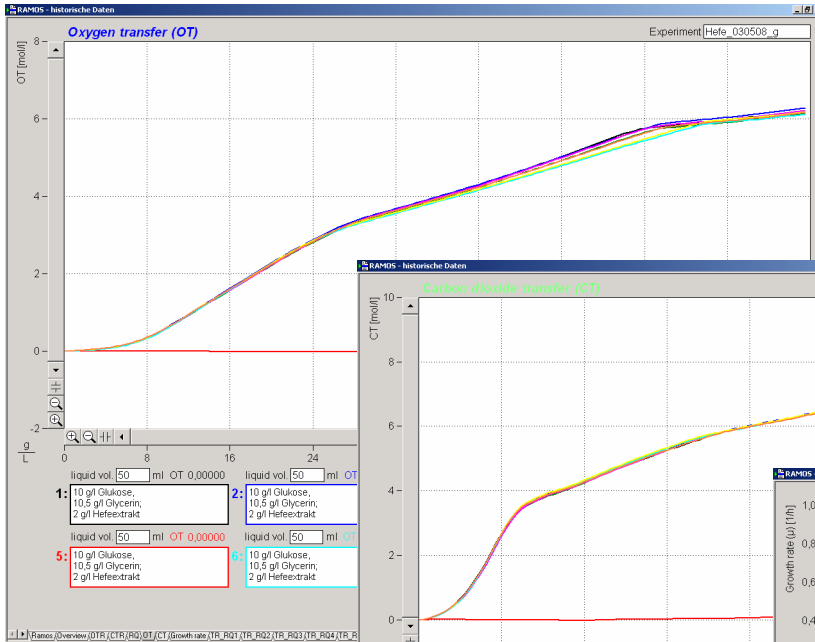
RAMOS

Single flask (OTR / CTR / RQ)



RAMOS

OT / CT / growth rate



Case Study:
**The Oxygen Transfer Rate as the Key Parameter
for the Characterisation and Optimisation of
Hansenula polymorpha Screening Cultures**

Contents

1 Introduction

Screening at Rhein Biotech GmbH

2 Method

On-line Measurement of the Oxygen Transfer Rate

3 Results

Oxygen Supply

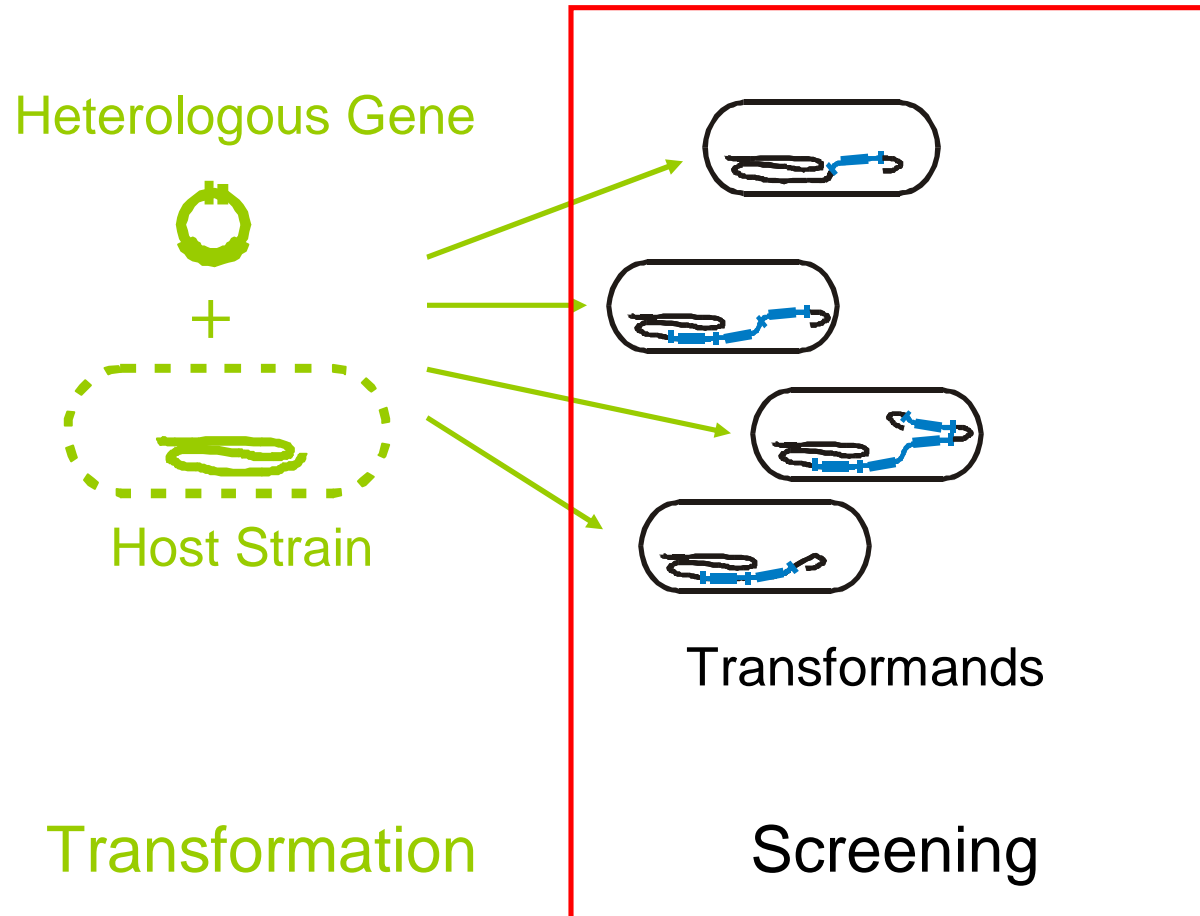
pH

Nutrient Supply

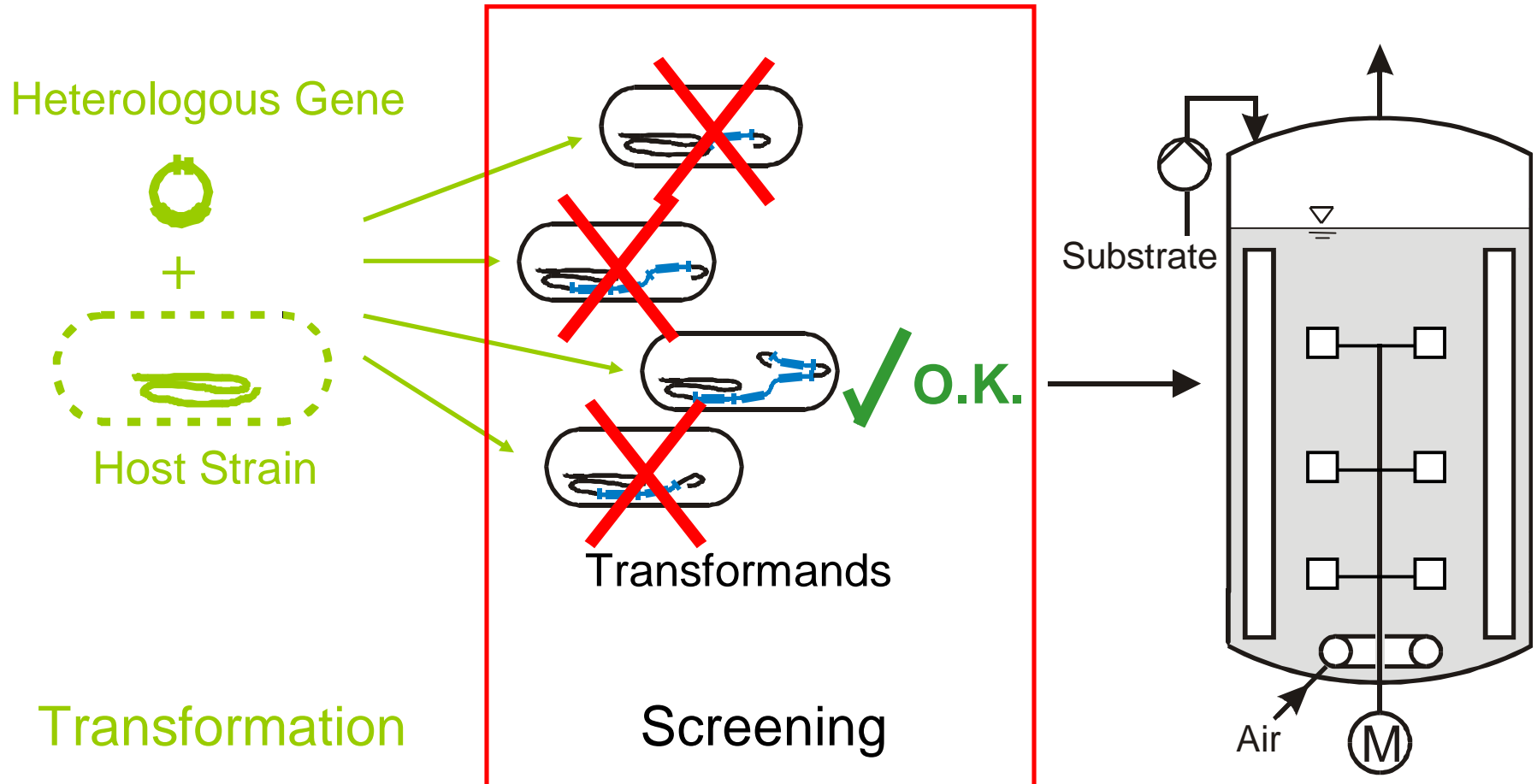
Simulation on the Basis of the Oxygen Transfer Rate

4 Summary

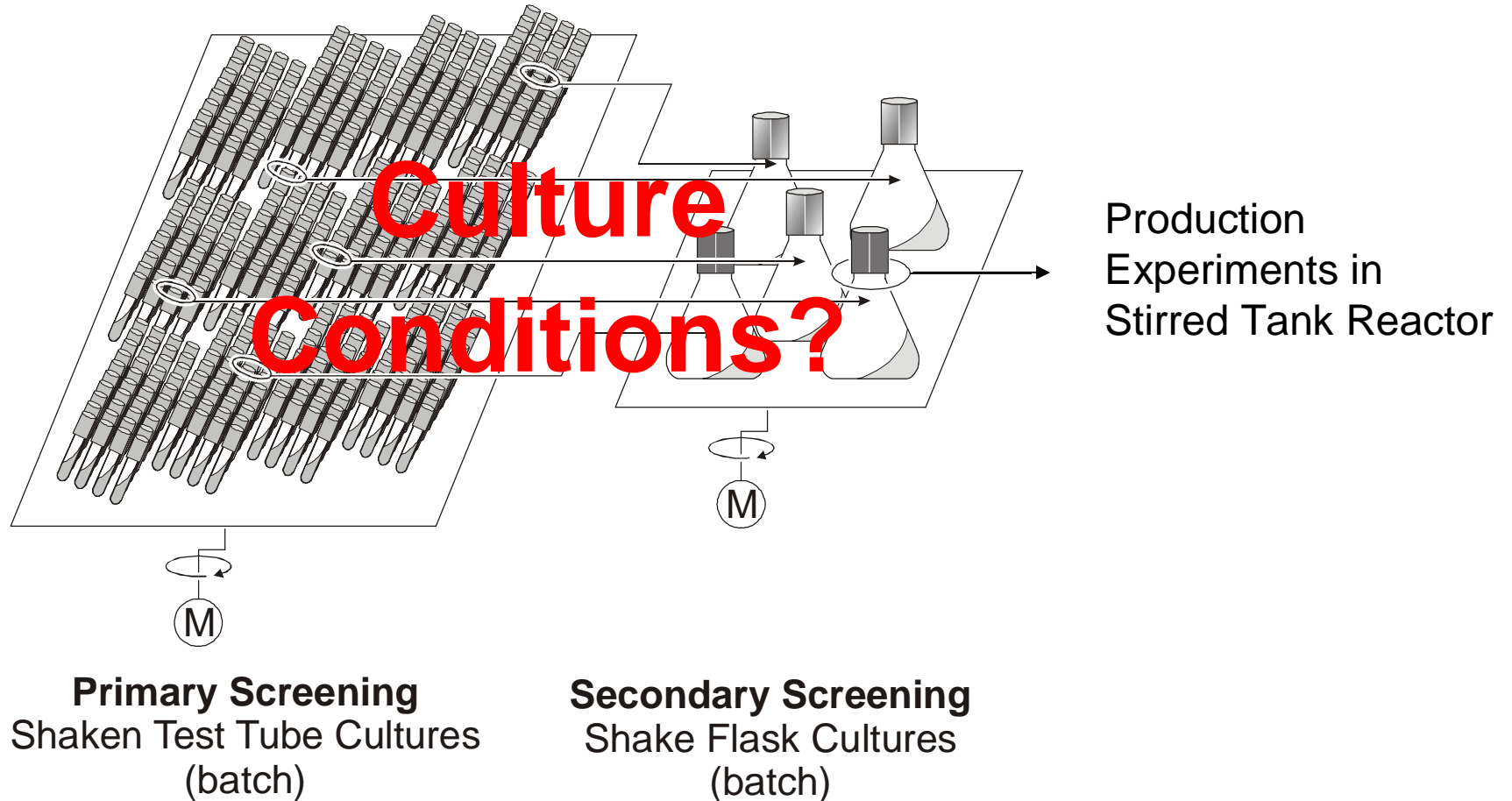
Strain Development on the Basis of *Hansenula polymorpha*



Strain Development on the Basis of *Hansenula polymorpha*

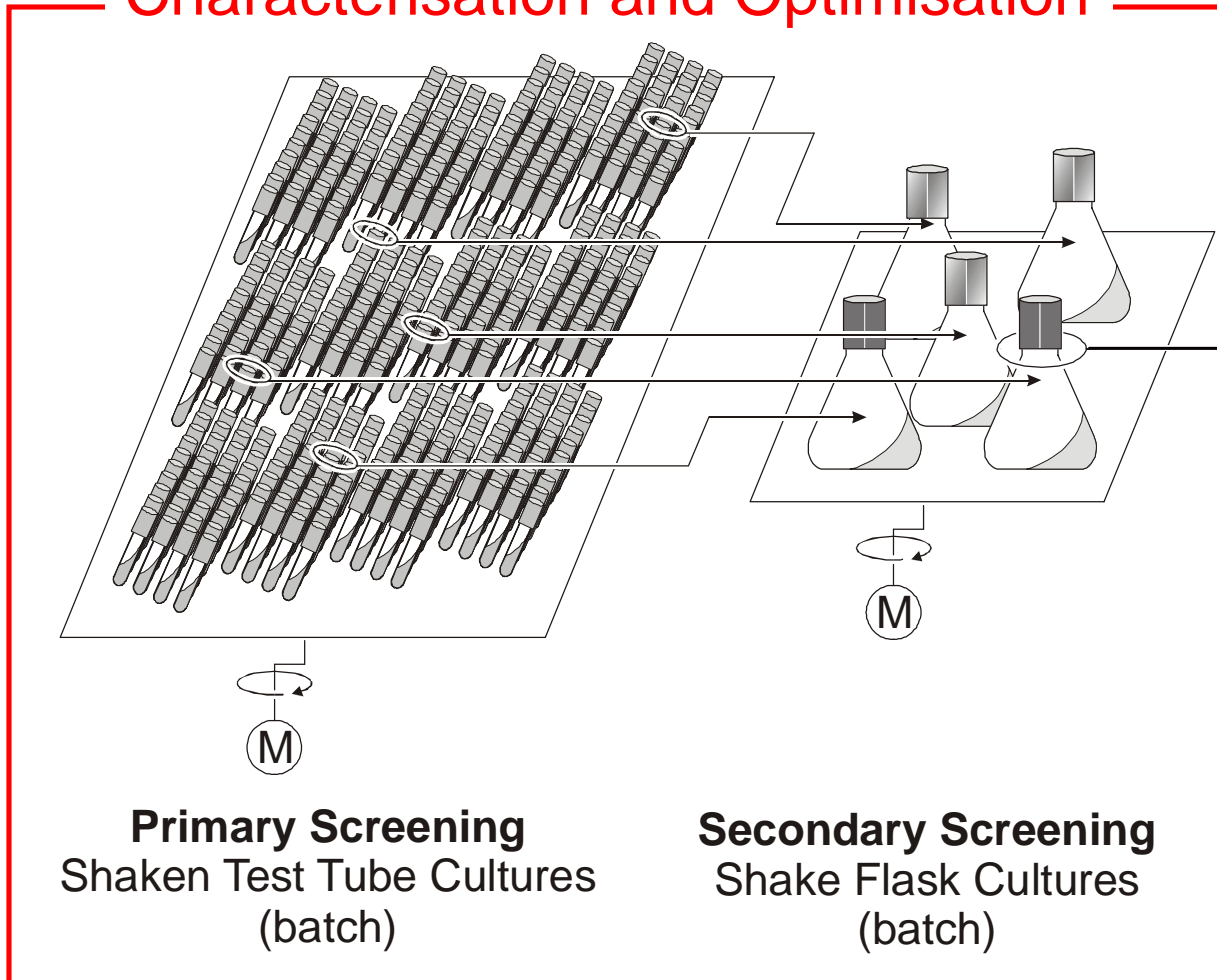


Screening Stages



Screening Stages

Characterisation and Optimisation



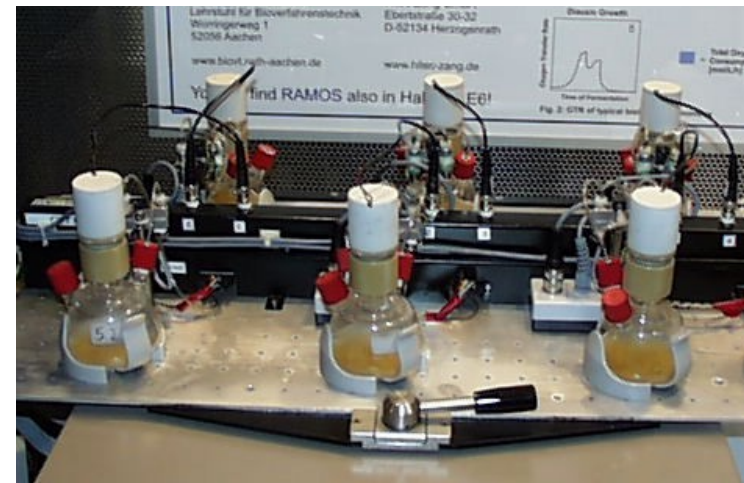
Production
Experiments in
Stirred Tank Reactor

Our Key Technology

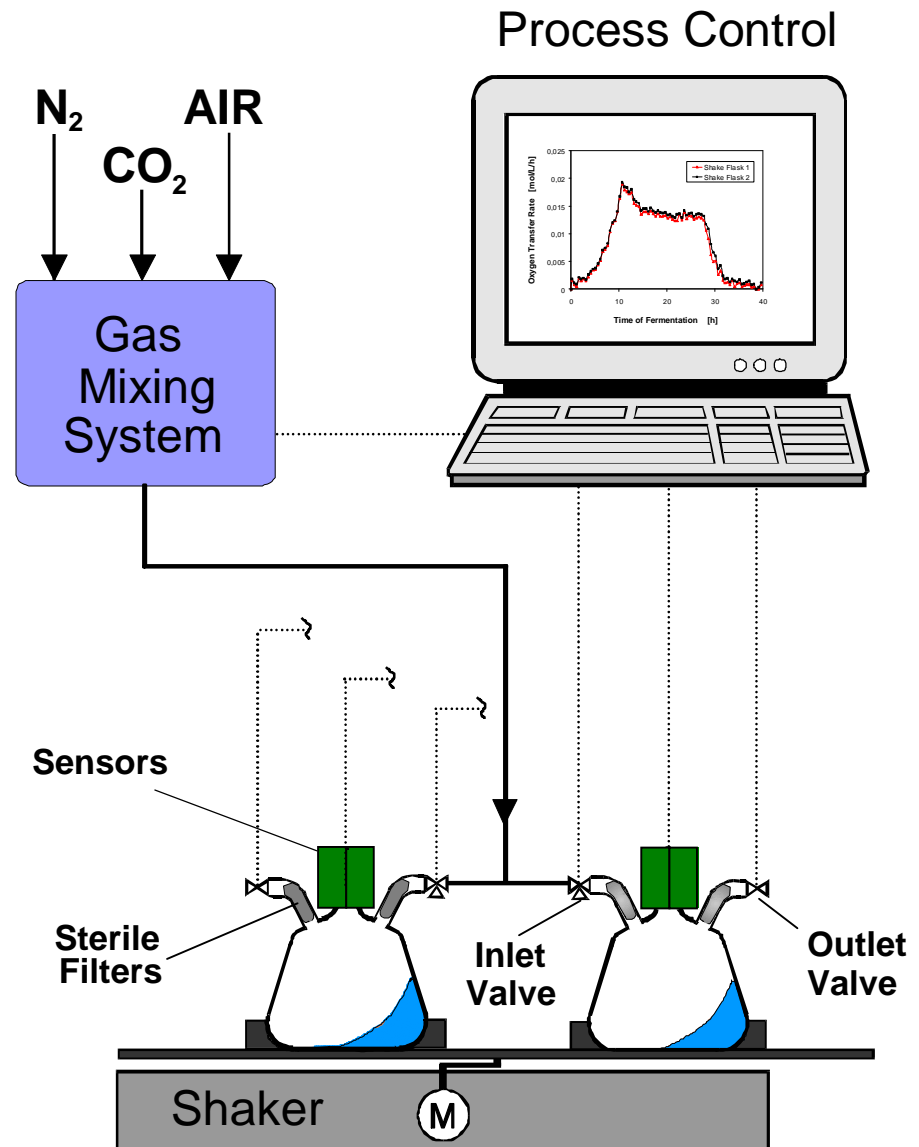
Oxygen Transfer Rate as the Basic Parameter for Characterising the Metabolic Activity of *Hansenula polymorpha* Cultures

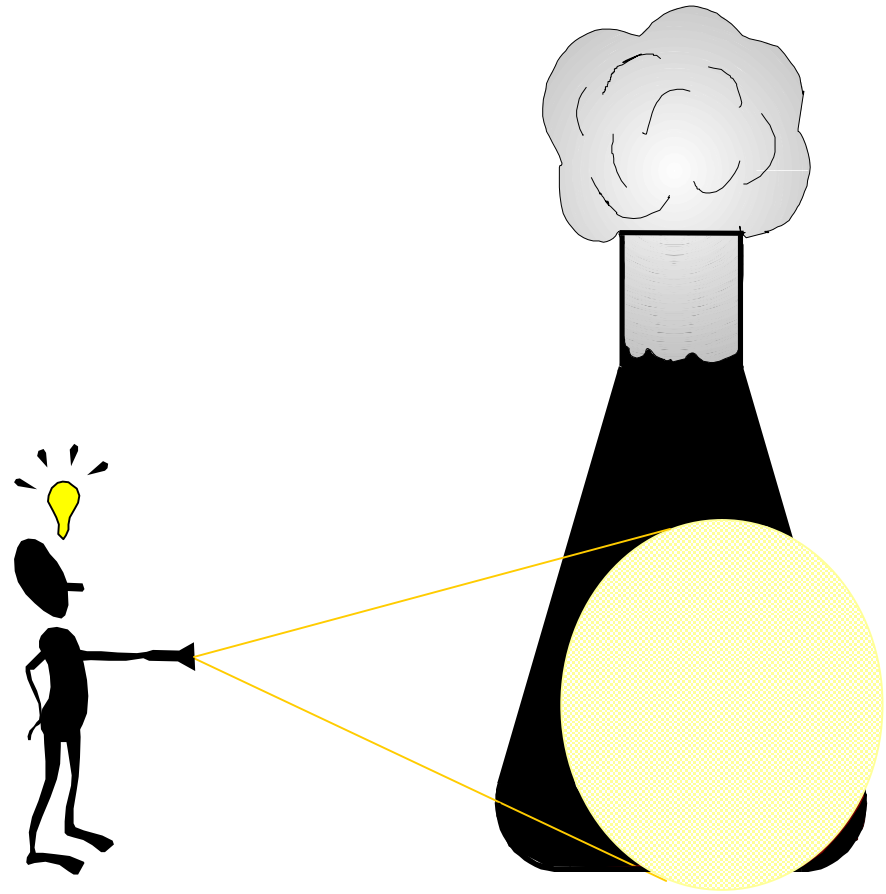


Devices for the On-line Measurement of the Oxygen Transfer Rate
in Test Tubes



On-line Measurement of the Oxygen Transfer Rate Flow Scheme





RAMOS



Case study 3

تولید اسید سیتریک

تاریخچه

اسید سیتریک اولین بار توسط Carl wilhelm scheel در سال ۱۷۸۴ از آبلیمو استخراج شد، و در سالهای ۱۸۸۰ به روش سنتزی از گلیسرول تهیه شد و چون مواد اولیه و مراحل بازیابی این محصول گران بود در دهه های خیر این اسید به روش بیوتکنولوژی (تخمیری از ملاس چغندر قند و نیشکر تهیه گردید.

موارد استفاده اسید سیتریک

- در شیرینیجات، دسرها، ژله ها و شربت ها.
- در عصاره میوه جات و سبزیجات و میوه جات منجمد.
- در شرابه و نوشیدنیهای غیر اکلی و شربتها.
- در صنایع دارویی و لوازم آرایشی.
- شتشوی فلزات و جرم وزنگ.
- شتشوی شیمیایی (مثل شتشوی ژنراتور های بخار با فشار زیاد)
- پرداخت فلزات به وسیله جریان برق و آب مس کاری
- بازیابی ثانویه نفت
- دباغی و از متورم شدن پوست جلوگیری می کند.
- در صنایع شیمیایی : اسید سیتریک نقطه شروع انواع استرها و سیترتهاى سدیم، آمونیوم، بیسموت، کلسیم، یون فریک، لیتیم، منیزیم، پتاسیم و استانسیم است.
- بسیاری از کاربرد های صنعتی اسید سیتریک بعلت خواص اسیدی و قدرت زیاد جدا کنندگی آن مقبل فلزاتی چون آهن و مس و کبالت و نیکل می باشد.
- در صنایع رنگ سازی

خواص فیزیکی

- کریستالهای آن که در محلولهای آبی سرد به دست می آید بیرنگ و نیمه شفاف و بصورت هیدراته می باشد .
- در درجه حرارت های ۷۵-۷۰ درجه سانتیگراد منو هیدرات شده ورد ۱۵۲-۱۳۵ درجه سانتیگراد ذوب می شود. اسید فوق دارای ثوابت دسوسیاسیون قوی بصورت زیر است.
- (ثابت تعادل در ۱۸۰ °C) $K1=8.2*10^{-4}$
 $K2=1.77*10^{-5}$ $K3=1*10^{-7}$
- جدول (۱) جدولی از خواص اسید سیتریک می باشد ،
- اسید سیتریک در آب به راحتی حل می شود. این اسید در حلالهای آلی مانند **Allyl acetate, allyl alcohol, ethyle acetate** و اتر و کلوروفورم نیز حل می شود.

واکنشهای شیمیایی

- اسید سیتریک در تمامی واکنشهای شیمیایی مربوط به β هیدروکسی اسیدها شرکت می کند، و با از دست دادن آب به اسید آلونئیک و باز دست دادن CO_2 به اسید اتیاکونیک (در 175°F) تبدیل می شود.
- اثر اسیر سولفوریک بر روی اسید سیتریک ایجاد اسید فرمیک و اسید ستن دی کربوکسیلیک می کند. هیدروژناسیون آن ایجاد تری کربالیتیک اسید می کند. از خواص مهم اسید سیتریک ایجاد **chelating** (یک ساختمان مولکولی است که در آن یک یون فلزی با هر یون دیگر در تشکیل یک حلقه شرکت می کنند، الکترونهای شرکت نکرده در ترکیبات حلقوی عامل **chelating** شناخته شده اند) یا یون های فلزی ۲ ظرفیتی مثل آهن و مس بوده که ایجاد کمپلکس می نماید.

میکرواورگانیزم ها و مواد اولیه سوپسترات و موارد استفاده در تولید اسید سیتریک

- قارچها
- باکتریها
- میکرواورگانیزم های نو ترکیب

قارچها

- دو دانشمند به نامهای Tom and Currie در سال ۱۹۱۶ نشان دادند که تقریباً در تمام گونه های جنس **Penicillium** مقدار قابل توجه ای اسید که دارای بازدهی خوب می باشد تولید می شود.
- گونه های مختلف آسپریلوس توانایی تولید اسید سیتریک را داشته ، اما بهترین آنها **Aspergillus niger** می باشد. از قارچ های دیگر که در تبدیل سلولوز و سایر پلی ساکارید هابه اسید سیتریک ماربرد دارند می توان به **Ustruline vulgaris, trichoder mavirie** و... را نام برد.
- گونه های قارچ **Candida** بطور اختصاصی از منابع قند ی، اسید سیتریک تولید می کنند مثل **Candida Lipolitic**

قارچها

با *A.niger* غلظت Fe^{+2} در محیط کشت بر تولید اسید سیتریک تاثیر می گذارد. *A.niger* عموماً یک مخلوطی از اسید سیتریک و اسید ایزوسیتریک تولید می کنند و نسبت قسمت های تولید شده می تواند تا مقادیر زیادی با تعدیل غلظت Fe^{+2} کنترل شود.

- مزایای عمده استفاده از *A.niger* عبارتند از :
- سرعت های رشد سریع تر
- سهولت نگهداری
- دامنه وسیع از سوبستراهای رشد
- پتانسیل برای توسعه فرایندها با جریان مداوم

باکتریها

مهمترین باکتری تولید کننده اسید سیتریک گونه های کونیدفرم
مثل

orynebateria •

Arthro bacteria •

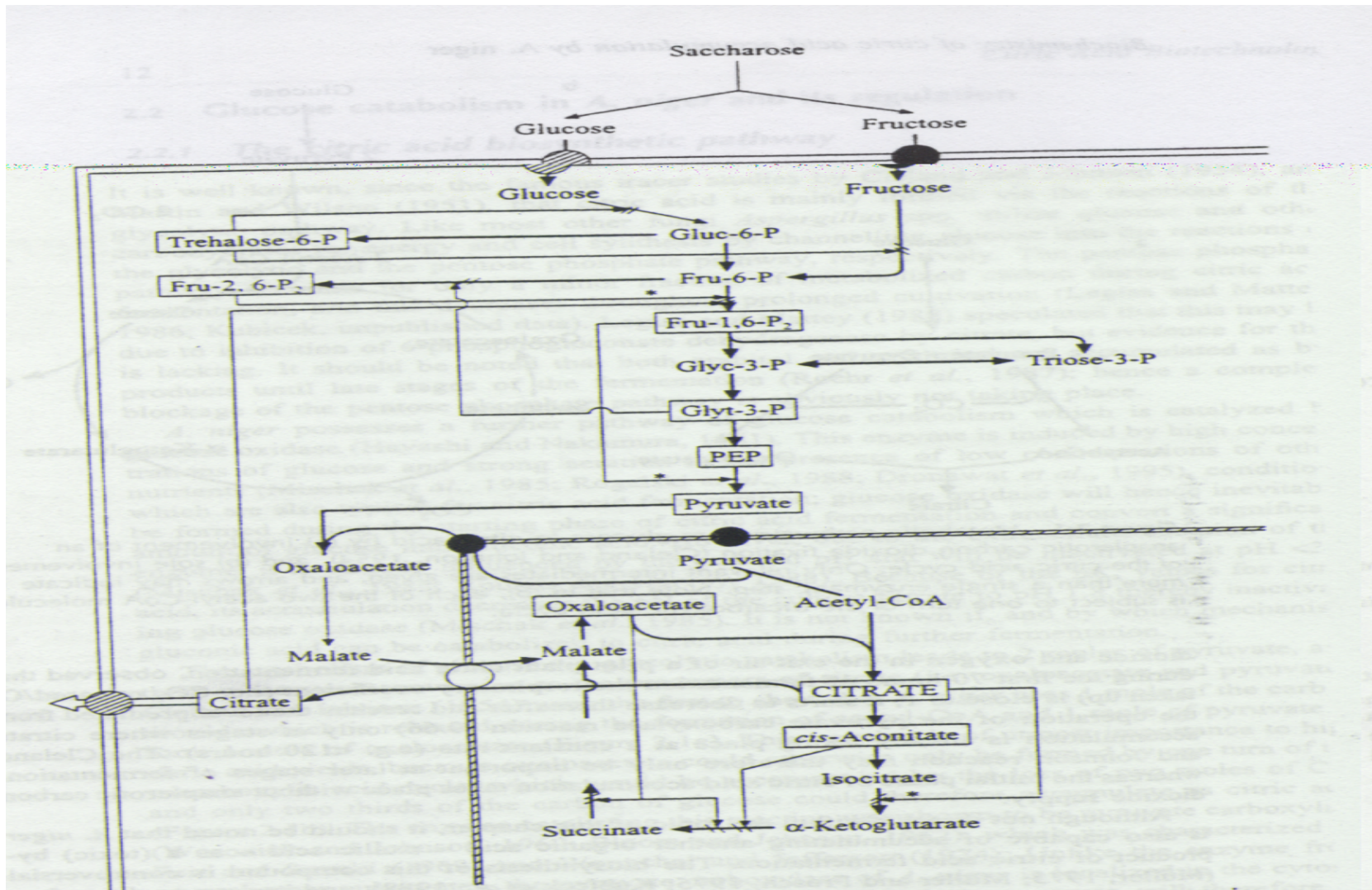
Parffine cis •

می باشد.

میکرواورگانیسم های نو ترکیب

- از آنجا که موفقیت یک پروسس شیمیایی منوط به میکرواورگانیسم مناسب و مقادیر اپتیمم پارامترهای فرمانتاسیون می باشد لذا انتخاب روش مناسب بسیار اهمیت دارد. امروزه به روشهای مهندسی ژنتیک میکرواورگانیسم های نو ترکیب که اولاً سالم بوده و ثانیاً بصورت اختصاصی می توانند محصول تولید کنند ، تبدیل کرده اند.
- مهندسین ژنتیک قارچ **A.niger** را نو ترکیب کرده و انواع مختلف آن را با کد های بین المللی در تولید اسد سیتریک با بازده ای بالا از ملاس چغندر قند و مواد قندی کاربرد داده اند.
- قارچی که در این پروژه جهت تولید اسید سیتریک مورد استفاده قرار گرفته است گونه **A niger 5010** می باشد

مکانیسم تبدیل کربو هیدرات ها را توسط *A niger*



سوبسترات مورد استفاده در عمل تخمیر

کربوهیدراتهای مختلفی جهت تولید اسید سیتریک مورد استفاده قرار می گیرند. این کربوهیدراتها به ۲ دسته تقسیم می شوند.

- مواد اولیه با خاکستر کم، مثل: قند، شکر، چغندر و نشاسته هیدرولیز شده ، از این سوبستراتها در کشت استفاده نمی شود زیرا قیمت این مواد بالا می باشد.

- مواد اولیه با خاکستر زیاد ، مثل: ملاس چغندر قند و نیشکر و نشاسته هیدرولیز شده ی فیلتر شده، مثالهایی از این نوع هستند **High molasses** نیز که توسط تبخیر جزبه جز نیشکر و همراه با مواد دیگر از نوع مواد با خاکستر زیاد بوده و ارزان قیمت می باشد .

اثر فاکتور های مختلف در تولید اسید سیتریک

- غلظت کربو هیدراتها
- میزان اثر نیتروژن
- اثر میزان فسفات
- اثر PH
- اثر یون فلزات بر روی تولید اسید سیتریک
- اثر میزان هوا دهی
- اثر سایر مواد

غلظت کربو هیدراتها

غلظت قندها در محیط کشت، در میزان بازدهی، اسید

سیتریک بسیار موثر است و ماکزیمم میزان باز دهی معمولا

در غلظت قند بین $14-22\%$ (W/W) بدست می آید.

میزان اثر نیتروژن

- در فرمانتاسیون اسید سیتریک بیشتر بصورت نیترات یا سولفات آمونیوم مورد استفاده قرار می گیرد (ترکیب آمونیمی بعثت کاهش PH ارجح هستند).
- بهترین زمان اضافه کردن ترکیبات نیتروژن (NH_4^+) به محیط مربوط به زمانی است که سرعت تولید اسید سیتریک کاهش یافته است.

اثر میزان فسفات

اگر یونهای فلزی دارای غلظت محدود نباشند از فسفات

استفاده می شود زیرا باعث تشکیل اسید های قندی و تحریک

رشد سلولی و کاهش تثبیت CO_2 می شود.

اثر PH

در فرمانتاسیون اسید سیتریک پایین بودن PH محیط کشت

بطور موثری در تولید دخالت دارد. زیرا باعث افزایش

راندمان و متوقف شدن تولید اسید اگزالیک می گردد. برای

تنظیم PH از اسید کلریدریک استفاده می شود. مقدار اپتیمم PH

جهت تولید بین ۲،۷-۲ است.

اثر یون فلزات بر روی تولید اسید سیتریک

تحقیقات Clark نشان داده است که استفاده از غلظت های کم

فسفات در زمانهایی که مقادیر Zn و Fe در غلظت های

اپتیمم خود باشند میزان بازدهی اسید سیتریک افزایش می

یابد.

اثر میزان هوا دهی

در فرمانتاسیون غوطه ور هوا دهی اهمیت بسیاری دارد و

تولید اسید سیتریک با افزایش هوا دهی افزایش می یابد.

اثر سایه بر مواد

- اثر مواد چرب: مواد چربی می توانند سبب بالا بردن میزان هوادهی اسید استیک شود.
- اثر نشاسته : نشاسته باعث کاهش مقدار اسپورها و زمان فرمانتاسیون می گردد، نشاسته تاثیر مشخصی بر مورفولوژی می گذارد.

روشهای تهیه و تولید اسید سیتریک

این روشها به دو دسته تقسیم می شوند

- روش اول مربوط به روش غیر تخمیری
- روش دوم مربوط به روشهای بیوتکنولوژی است.

روش غیر تخمیری

این روشها عبارتند از

۱- استخراج اسید سیتریک از آب آنانار

۲- استخراج اسید سیتریک از آبلیمو

۳- استخراج اسید سیتریک طبق روش Adam, Grimau

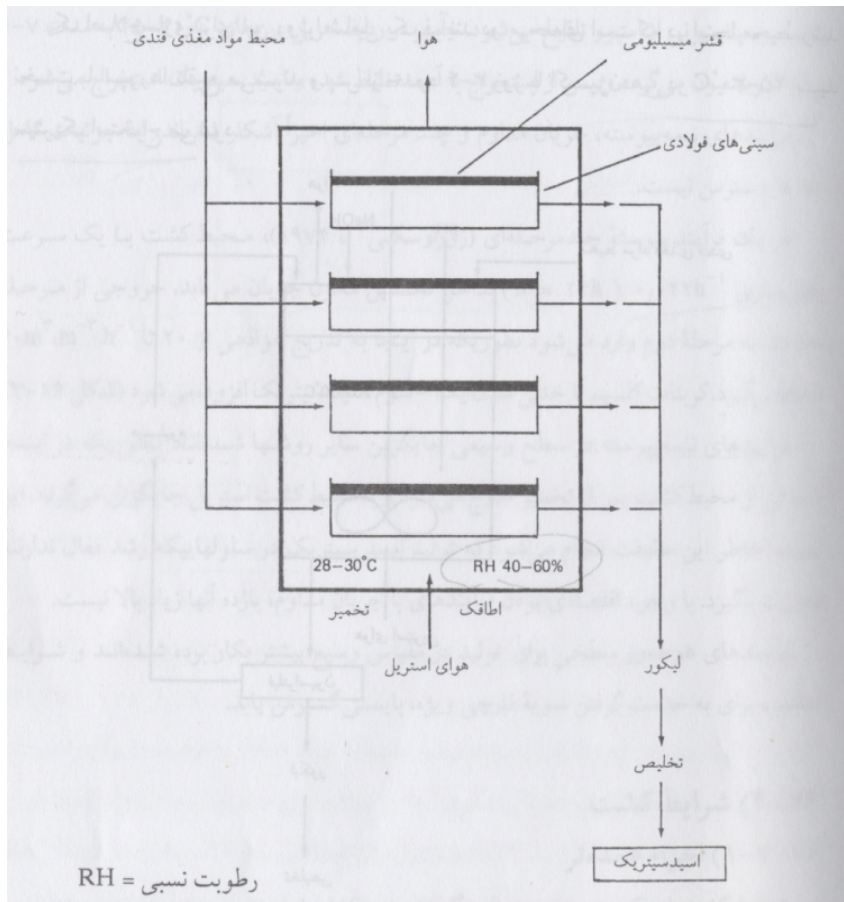
۴- استخراج اسید سیتریک طبق روش Wtely ,

Reformatsuey

روش بیوتکنولوژی (تخمیری) در تولید اسید استیک

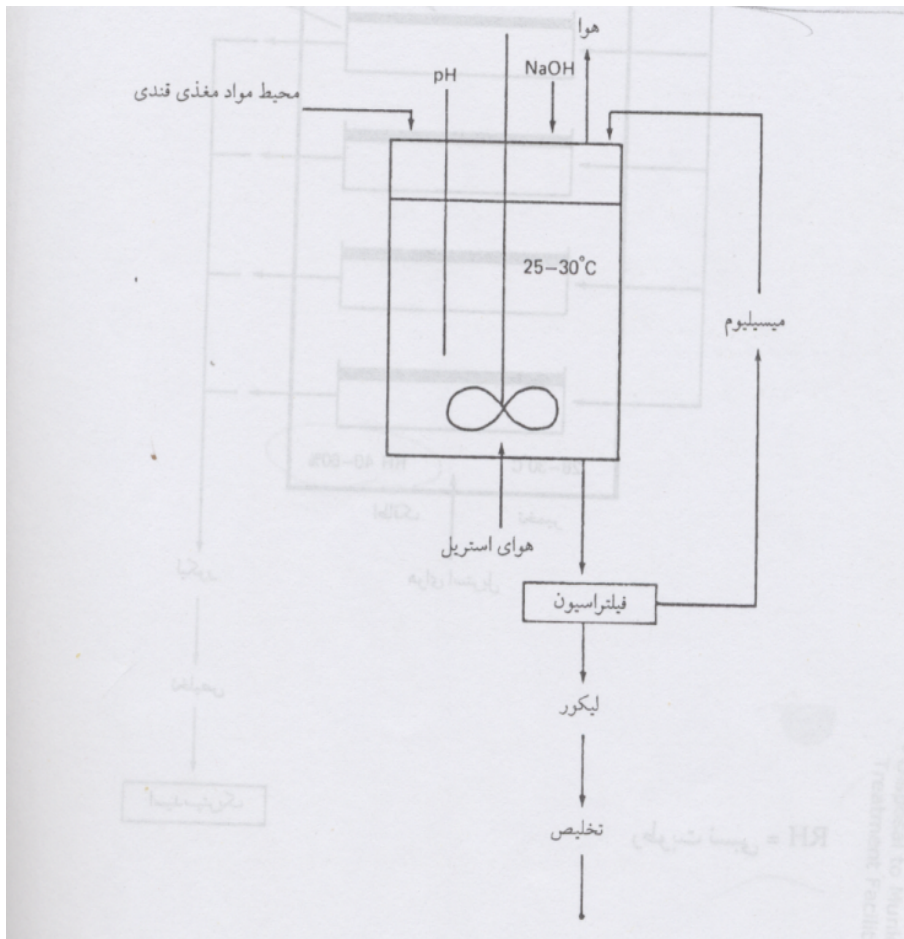
- متد کشت سطحی
- متد کشت غوطه ور
- کشت حالت جامد
- متد **Noji** که بیشتر در ژاپن کاربرد دارد.

متد کشت سطحی



• در فرآیند های کاسیک تولید اسید سیتریک محلول محیط کشت در حوضچه های کم عمق قرار داده می شود و قارچ به صورت رشته های میسلیومی بر روی سطح محیط تکثیر می یابد. سیستم کشت سطحی شامل اطاق هایی جهت تخمیر می باشد و در آنها سینی های متعددی که توسط یک پایه محکم شده اند قرار گرفته است، سینی ها معمولا از جنس آلومینیوم تقریبا خالص و یا از فولاد زد زنگ می باشند، اندازه این سینی ها بسته به مقدار تولید محصول متغیر بوده و عمق مایع مصرفی نیز متغیر است.

روش کشت غوطه ور

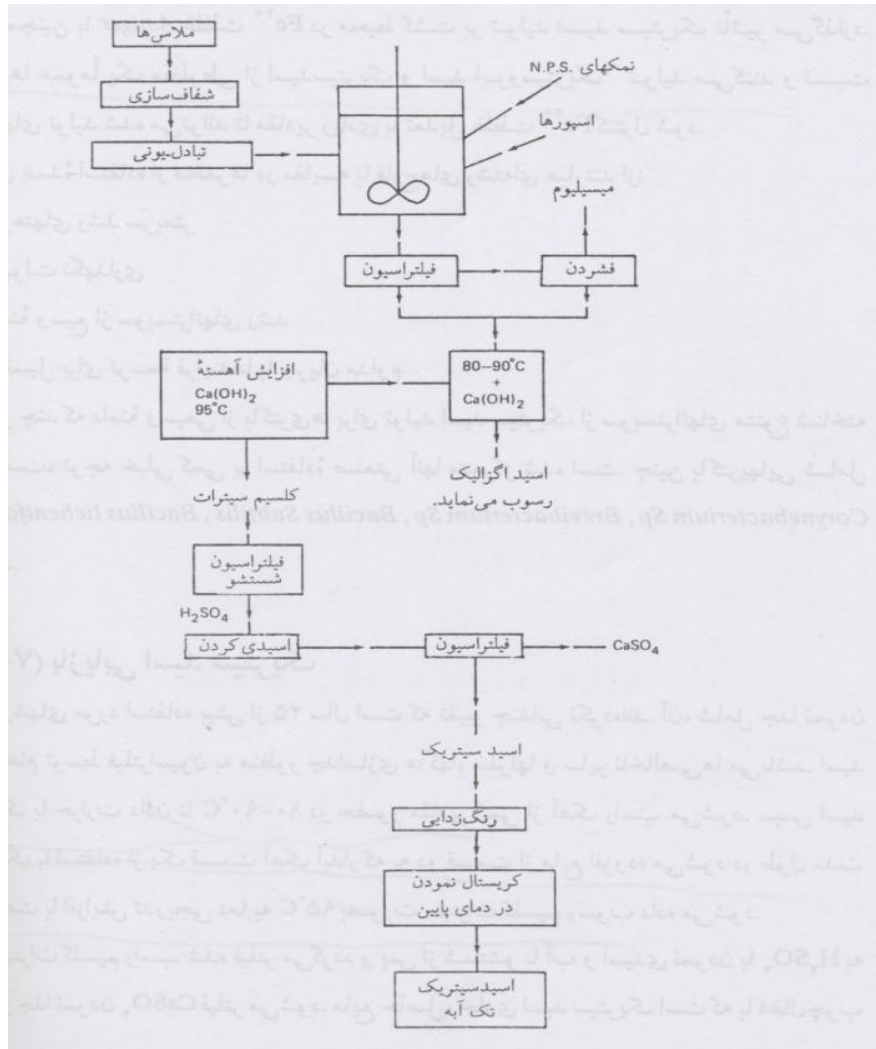


- این تخمیر در بیو راکتور انجام می شود . دو بیوراکتور مور استفاده برای این نوع تخمیر عبارتند از
- Conventional stirred bioreactor
- tower fermentor
- بطور کلی برجهای تخمیر نسبت به Conventional stirred bioreactor دارای مزایای زیر می باشد:
- ۱- هزینه کمتر
- ۲- امکان ساخت راکتور در مقیاس بزرگتر
- ۳- امکان آلودگی کمتر
- ۴- شرایط بهتر جهت تولید عملیات با جامد معلق

کشت حالت جامد

- این فرایند نخستین بار در سال ۱۹۳۵ توسط Cahn توصیف شد. هرچند که این روش پتانسیل بالایی دارد اما به خاطر شدت زحمت برای هیچ محدوده مهمی در صنعت به خدمت گرفته نشده است. محیط کشت تخمیری به داخل مواد جامد متخلخل نظیر تفاله نیشکر، تفاله سیبزمینی یا چغندر قند، تفاله آناناس و غیره در یک نسبت مناسب پس از استریل سازی تزریق می گردد. سپس با یک سوسپانسیون از اسپور تلقیح می شود. خمیر در ردیف هایی دذر دمای ۲۵ تا ۳۰ سانتی گراد به مدت ۶ الی ۷ روز انکوباسیون می گردد و پس از استخراج با آب، تغلیظ شده و اسید سیتریک استخراج می شود .

روشهای بازیابی اسید سیتریک تولید شده به روش غوطه ور



- در این روش جدا کردن میسیلیوم
مها از سیال تخمیر شده کار
مشکلی است برای این منظور در
عمل استخراج اسید سیتریک در
اشل صنعتی جهت تولید
میسیلیومها از یک **Filter**
rotary vaccum drum
استفاده می شود.
- در اشل آزمایشگاهی یا نیمه
صنعتی توسط سانتریفوژ این
عمل صورت می گیرد

شمای کلی طرح تولید اسید سیتریک

